

VII. Data Compression (A)

◆ 壓縮的通則：

利用資料的一致性

資料越一致的資料，越能夠進行壓縮

[References]

- I. Bocharova, *Compression for Multimedia*, Cambridge, UK, Cambridge University Press, 2010.
- 酒井善則，吉田俊之原著，原島博監修，白執善編譯，“影像壓縮術”，全華印行, 2004.
- 戴顯權，“資料壓縮 Data Compression,” 旗標出版社, 2007.
- D. Salomon, *Introduction to Data Compression*, Springer, 3rd ed., New York, 2004.

◎ 7-A 壓縮的哲學：

(1) 利用資料的一致性，規則性，與可預測性

(exploit redundancies and predictability, find the compact or sparse representation)

(2) 通常而言，若可以用比較精簡的自然語言來描述一個東西，那麼也就越能夠對這個東西作壓縮

Q: 最古老的壓縮技術是什麼？

(3) 資料越一致，代表統計特性越集中

包括 Fourier transform domain, histogram, eigenvalue 等方面的集中度

Data type	Compression technique	Compression rate
Audio	*.mp3	
Image	*.jpg	
Video	*.mpg *.mpeg *.mp4 *.avi *.wmv *.mov	

思考：如何對以下的資料作壓縮

Article:

Song:

Voice:

Cartoon:

Compression: Original signal → Compact representation + residual information

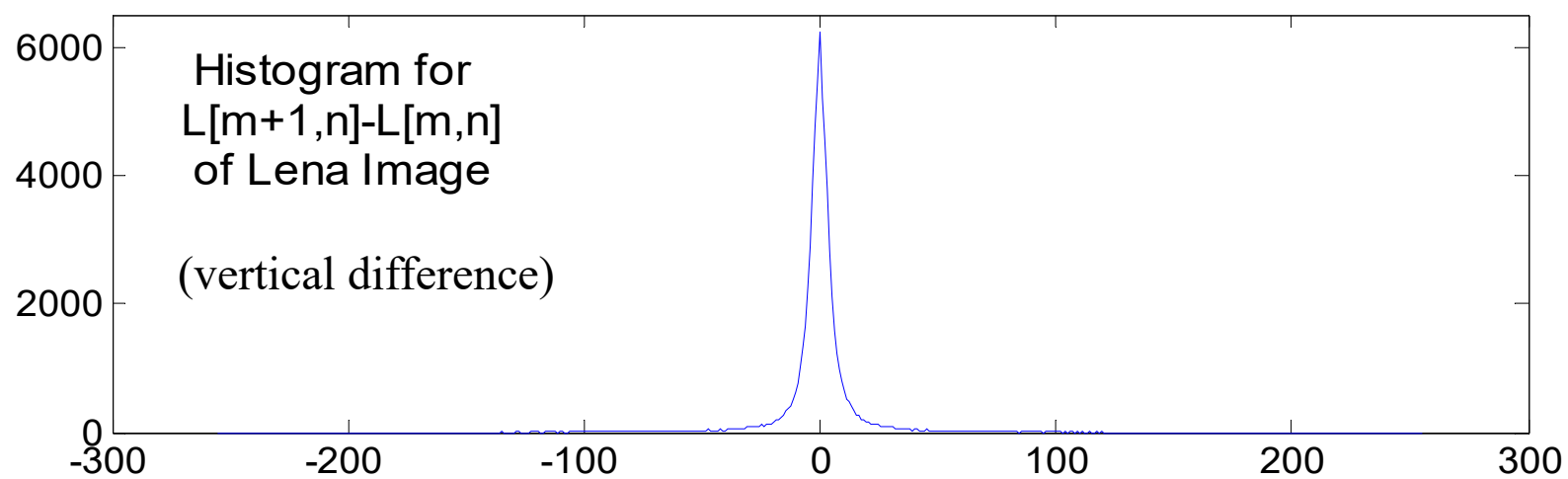
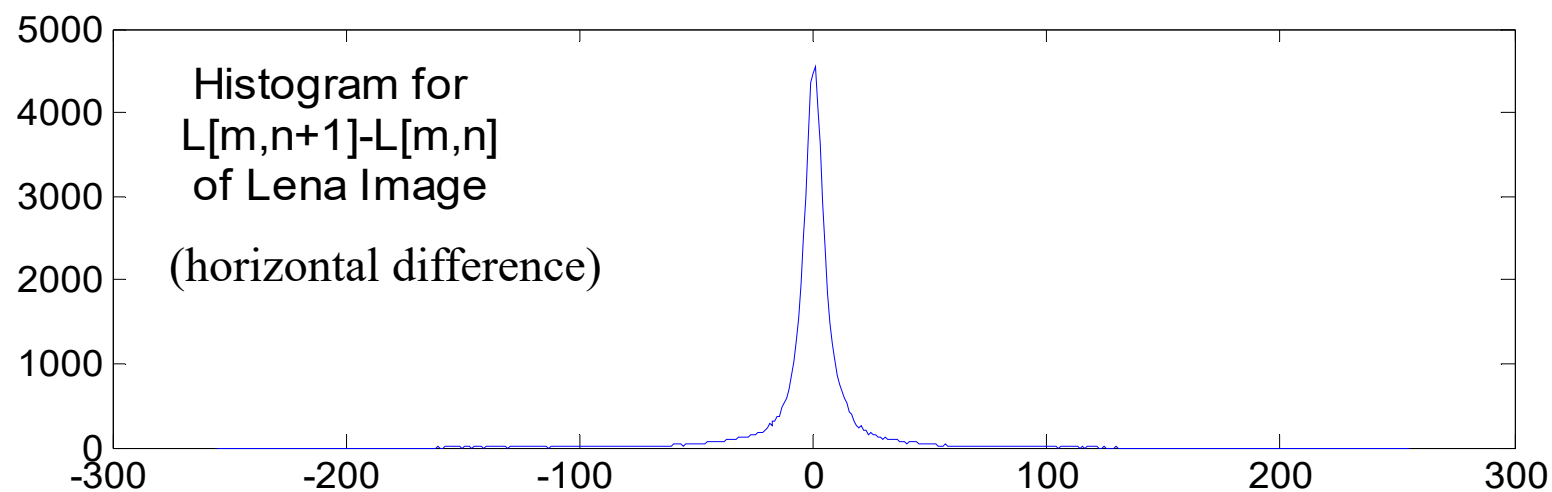
◎ 7-B Compression for Images

- 影像的「一致性」：

Space domain: 每一點的值，會和相鄰的點的值非常接近

$$F[m, n+1] \approx F[m, n], \quad F[m+1, n] \approx F[m, n]$$

Frequency domain: 大多集中在低頻的地方。



Histogram:

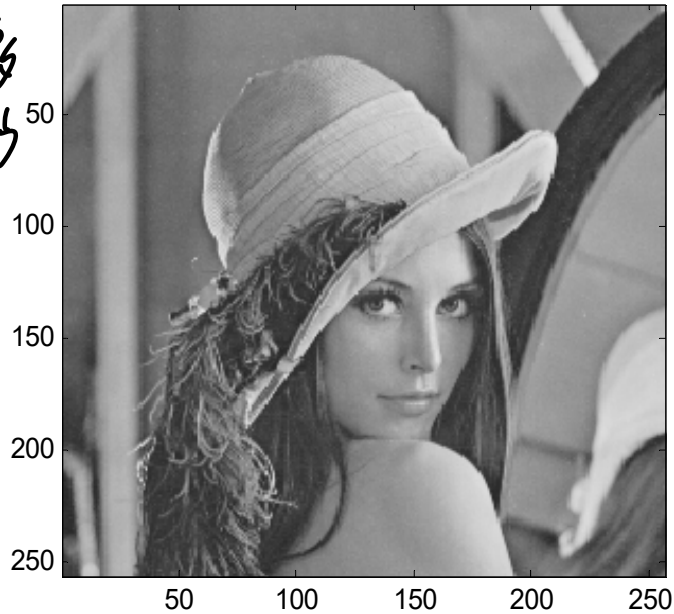
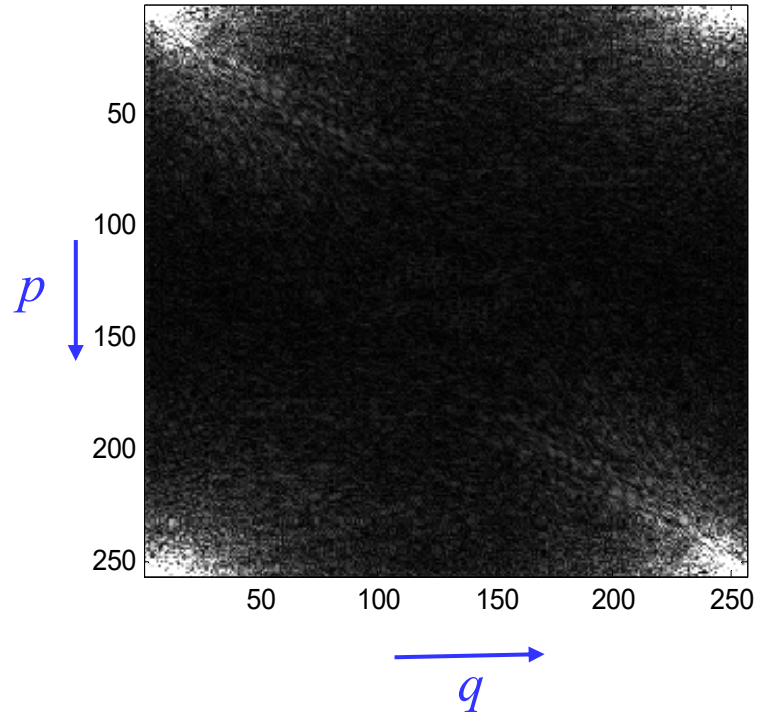
一個 vector 或一個 matrix 當中，有多少點會等於某一個值

例如： $x[n] = [1\ 2\ 3\ 4\ 4\ 5\ 5\ 3\ 5\ 5\ 4]$

則 $x[n]$ 的 histogram 為

$$h[1] = 1, h[2] = 1, h[3] = 2, h[4] = 3, h[5] = 4$$

Lena Image 頻譜 (frequency domain) 的一致性

 $L[m, n]$  $|\text{fft2}(L[m, n])|$ (用亮度來代表 amplitude)

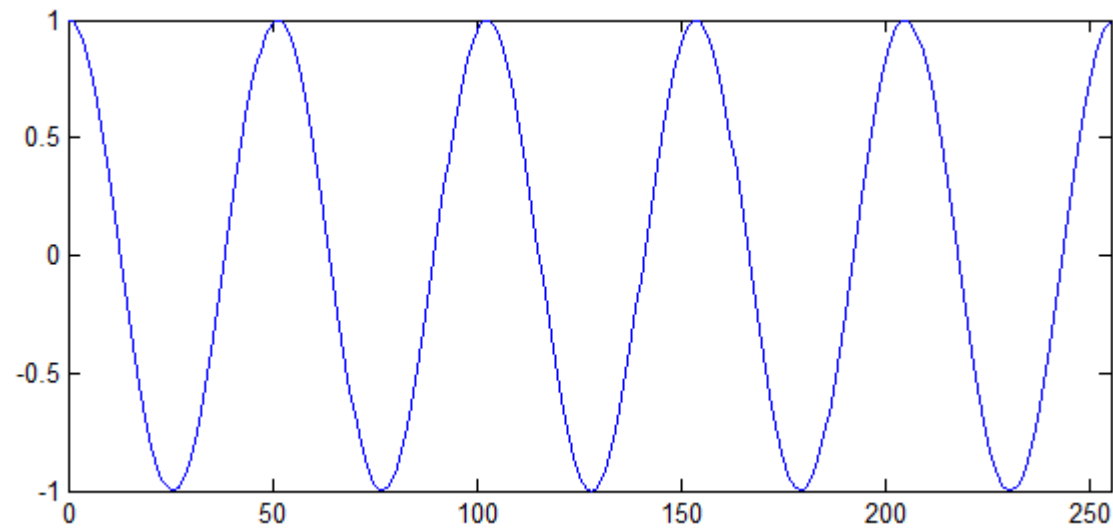
$$L_F[p, q] = \text{fft2}\{L[m, n]\} = \sum_{m=1}^M \sum_{n=1}^N L[m, n] e^{-j2\pi \frac{pm}{M}} e^{-j2\pi \frac{qn}{N}}$$

$$L[m, n] = \frac{1}{MN} \sum_{m=1}^M \sum_{n=1}^N L_F[p, q] e^{j2\pi \frac{pm}{M}} e^{j2\pi \frac{qn}{N}}$$

影像的「頻率」：frequency in the space domain

$e^{j2\pi\frac{pm}{M}}$ 從 $m = 0$ 至 $m = M-1$ 之間有 p 個週期

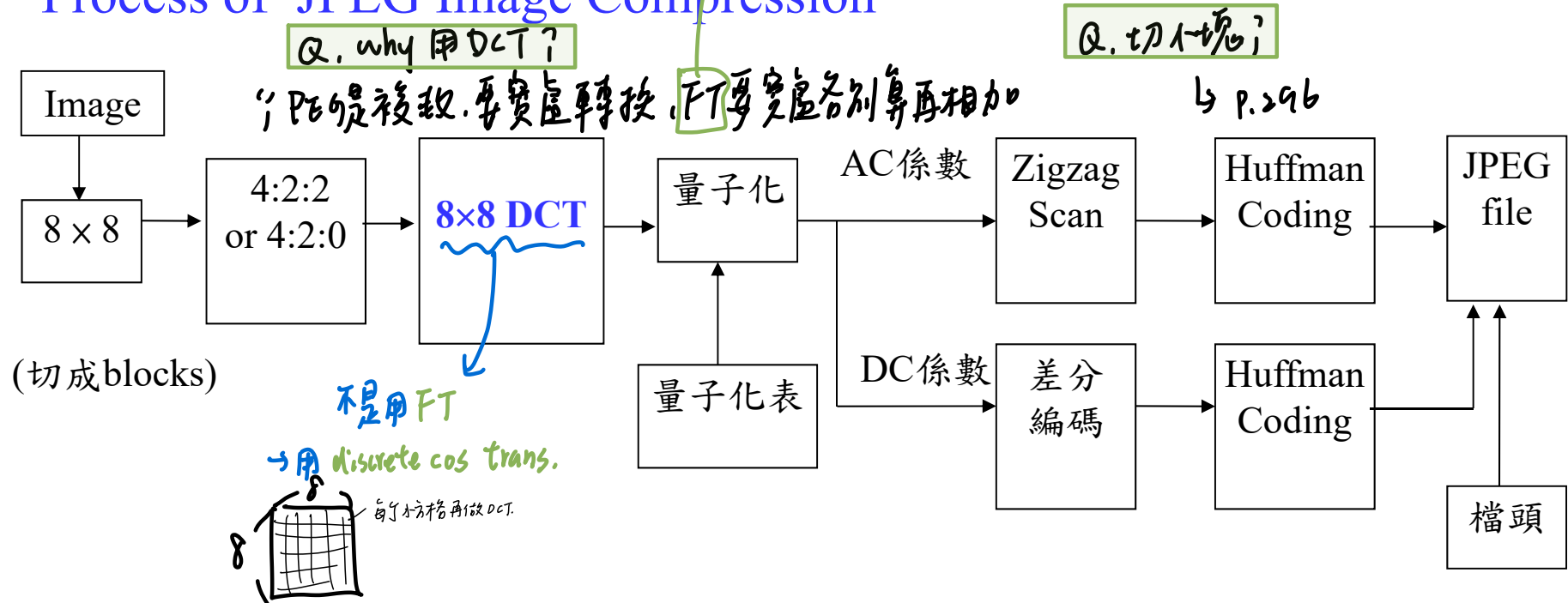
$p = 5$ $\text{Re}\{e^{j2\pi\frac{pm}{M}}\}$



larger p : more variation in the space domain

© 7.C JPEG Standard

Process of JPEG Image Compression



- 主要用到四個技術：
 - (1) 4:2:2 or 4:2:0 (和 space domain 的一致性相關)
 - (2) 8×8 DCT (和 frequency domain 的一致性相關)
 - (3) 差分編碼 (和 space domain 的一致性相關)
 - (4) Huffman coding (和 lossless 編碼技術相關)

JPEG： 影像編碼的國際標準 全名： Joint Photographic Experts Group

JPEG 官方網站： <http://www.jpeg.org/>

參考論文： G. K. Wallace, “The JPEG still picture compression standard,” *IEEE Transactions on Consumer Electronics*, vol. 38, issue 1, pp. 18-34, 1992.

JPEG 的 FAQ 網站： <http://www.faqs.org/faqs/jpeg-faq/>

JPEG 的 免費 C 語言程式碼：

<http://opensource.apple.com/source/WebCore/WebCore-1C25/platform/image-decoders/jpeg/>

一般的彩色影像，可以壓縮 12~20 倍。

簡單的影像甚至可以壓縮超過 20 倍。

// ↑ 此之前，在另一手寫版本裡

284

- 壓縮的技術分成兩種

lossy compression techniques

無法完全重建原來的資料

Examples: DFT, DCT, KLT (with quantization and truncation),

4:2:2 or 4:2:0, polynomial approximation

壓縮率較高

lossless compression techniques

可以完全重建原來的資料

Examples: binary coding, Huffman coding, arithmetic coding,

Golomb coding

壓縮率較低

★ 色彩轉換 (Y 對人眼敏感度最高) 依錐狀體 (對色度的敏感度)

285

◎ 7-D 4:2:2 and 4:2:0

trans

RGB → Y, Cb, Cr

$$\begin{bmatrix} Y \\ C_b \\ C_r \end{bmatrix} = \begin{bmatrix} 0.299 & 0.587 & 0.114 \\ -0.169 & -0.331 & 0.500 \\ 0.500 & -0.419 & -0.081 \end{bmatrix} \begin{bmatrix} R \\ G \\ B \end{bmatrix}$$

總和 = 1 ←

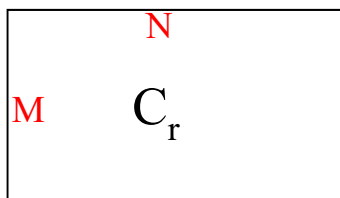
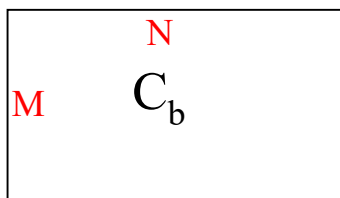
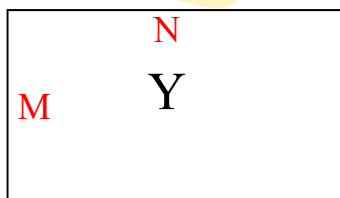
負和 = -0.5 ←

人對綠較為敏感!

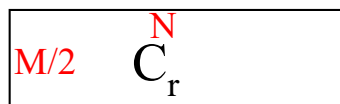
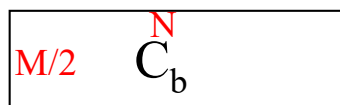
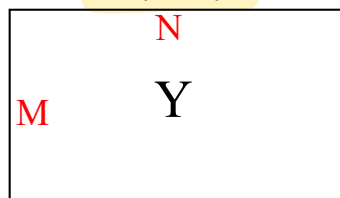
complexity R: red, G: green, B: blue complementary of blue

Y 亮度, C_b 0.565(B-Y), C_r 0.713(R-Y)

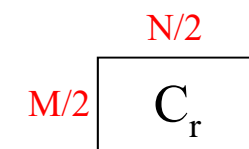
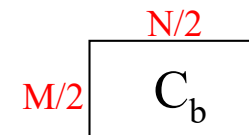
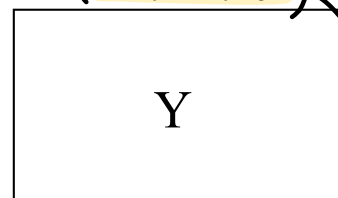
4:4:4



4:2:2



(4:2:0)



$$MN(1 + \frac{1}{4} + \frac{1}{4}) = \frac{3}{2}MN$$

其實是 4:1:1

Q. 刪掉怎麼還原?
↳ 用內插做還原.

recover:

$$(b(2m+1, 2n))$$

$$= \frac{1}{2} (b(2m, 2n) + b(2m+2, 2n))$$

$$(b(m, 2n+1)):$$

$$\frac{1}{2} (b(m, 2n) + b(m+2, 2n))$$

24 bits/pixel \rightarrow 16 bits/pixel \rightarrow 12 bits/pixel

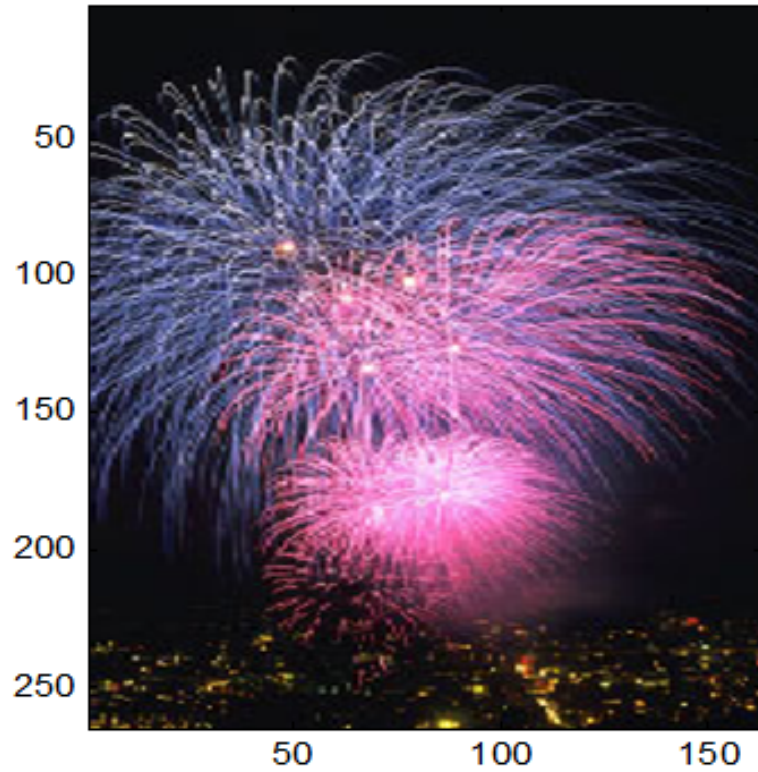
同樣使資料量省一半的(b)(d)圖，(d)圖和原來差不多，
然而(b)圖邊緣會有失真現象。

還原時，用 interpolation 的方式

⊗ 正確壓縮時 → 肉眼所見不見太大差異 以p.288

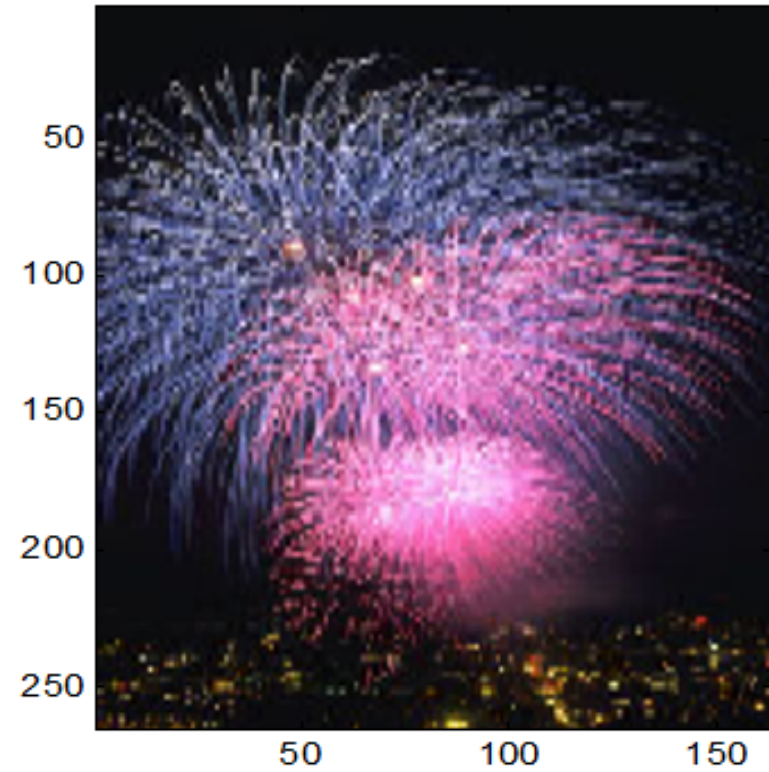
287

原圖



(a)

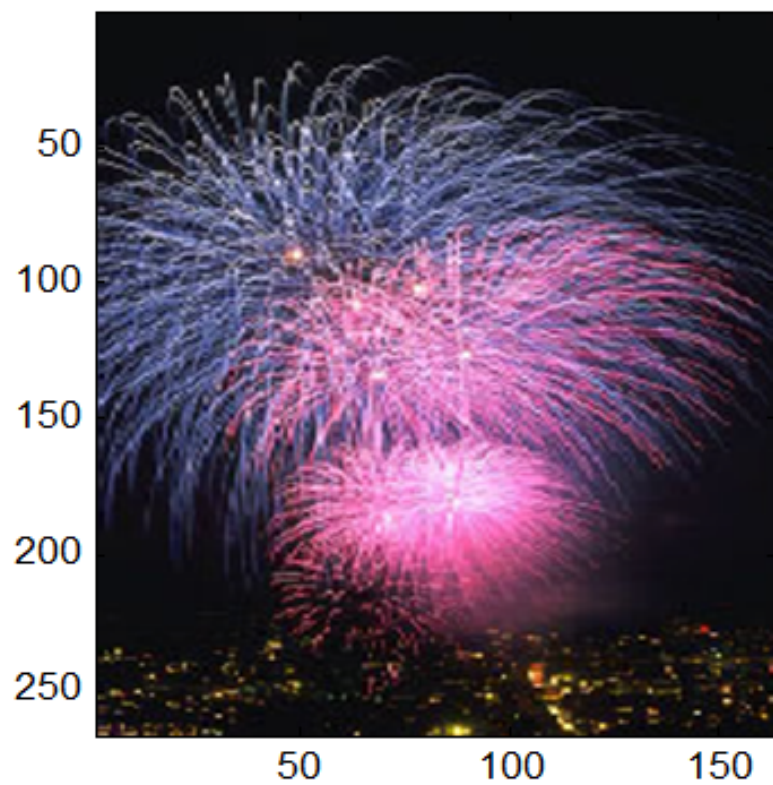
直接在縱軸取一半的pixels 再還原



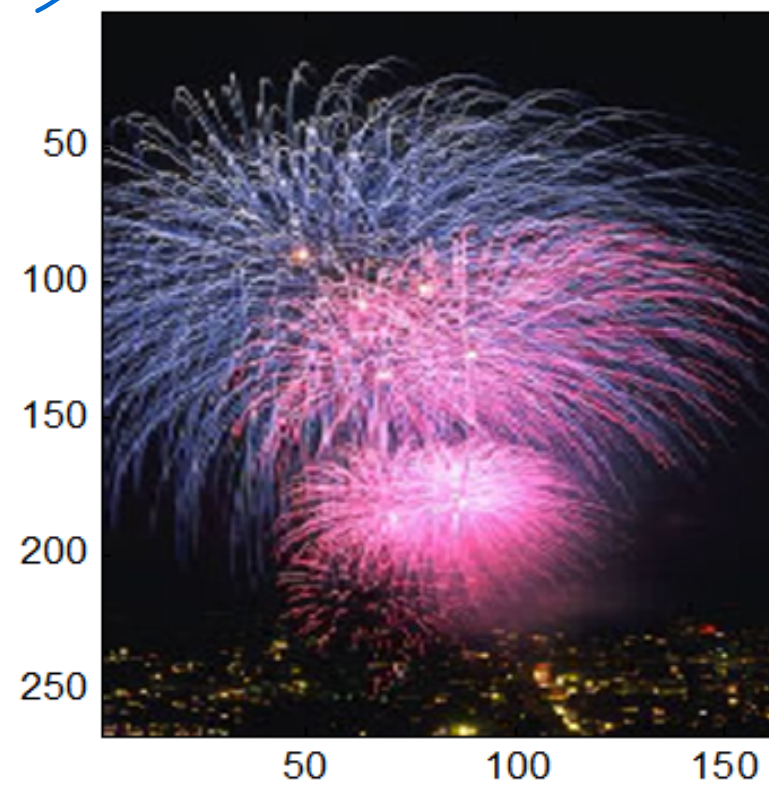
(b)

$4:2:2$

误差肉眼看不出

 $4:2:0$ 

(c)



(d)

◎ 7-E Optimal Transform--KLT

複習：DFT 的優缺點

已完全
* 找到一空間，經 transform 後，能用旁邊的變換測
下變的相關性 (related = 0)

- **Karhunen-Loeve Transform (KLT)**
(similar to **Principal component analysis (PCA)**)

* It is optimal, but dependent
on the input

經過轉換後，能夠將影像的能量分佈變得最為集中

→ 反而不利於做壓縮
(需要外的空間)

分析影像的主要成分，第二主要成份，第三主要成份，.....

- 1-D Case $X[u] = \sum_{n=0}^{N-1} \underline{x[n]} \underline{K[u, n]}$ \Rightarrow get 每個變之間的相關度!

$$K[u, n] = e_n[u] \quad (K = [e_0, e_1, e_2, \dots, e_{N-1}]^T)$$

e_n 為 covariance matrix C 的 eigenvector

$$C[m, n] = \text{cov}(x[m], x[n]) = E[(x[m] - \overline{x[m]})(x[n] - \overline{x[n]})]$$

↪ expected value.

mean

Note: **cov** 代表 covariance

KLT 的理論基礎：

經過 KLT 之後，當 $u_1 \neq u_2$ 時， $X[u_1]$ 和 $X[u_2]$ 之間的 covariance 必需近於零 (即 decorrelation)

$$\text{即 } \text{cov}(X[u_1], X[u_2]) = E[(X[u_1] - \overline{X[u_1]})(X[u_2] - \overline{X[u_2]})] = 0$$

If we set

$$\mathbf{x} = [x[0], x[1], x[2], \dots, x[N-1]]^T \quad \mathbf{X} = [X[0], X[1], X[2], \dots, X[N-1]]^T$$

and

$$\mathbf{C} = E((\mathbf{x} - \bar{\mathbf{x}})(\mathbf{x} - \bar{\mathbf{x}})^T) \quad \text{where} \quad \bar{\mathbf{x}} = E(\mathbf{x})$$

$$\mathbf{C}_X = E((\mathbf{X} - \bar{\mathbf{X}})(\mathbf{X} - \bar{\mathbf{X}})^T) \quad \text{where} \quad \bar{\mathbf{X}} = E(\mathbf{X})$$

then

$$\mathbf{C}[m, n] = \text{corr}(x(m), x(n)) \quad \mathbf{C}_X[u_1, u_2] = \text{corr}(X(u_1), X(u_2))$$

\mathbf{C}_X should be a diagonal matrix.

Also note that

$$\mathbf{X} = \mathbf{K}\mathbf{x} \quad \bar{\mathbf{X}} = \mathbf{K}\bar{\mathbf{x}}$$

$$\mathbf{C}_x = E\left((\mathbf{X} - \bar{\mathbf{X}})(\mathbf{X} - \bar{\mathbf{X}})^T\right)$$

Since $\mathbf{X} = \mathbf{K}\mathbf{x}$ $\bar{\mathbf{X}} = \mathbf{K}\bar{\mathbf{x}}$

$$\begin{aligned}\mathbf{C}_x &= E\left((\mathbf{K}\mathbf{x} - \mathbf{K}\bar{\mathbf{x}})(\mathbf{K}\mathbf{x} - \mathbf{K}\bar{\mathbf{x}})^T\right) = E\left(\mathbf{K}(\mathbf{x} - \bar{\mathbf{x}})(\mathbf{x} - \bar{\mathbf{x}})^T \mathbf{K}^T\right) \\ &= \mathbf{K}E\left((\mathbf{x} - \bar{\mathbf{x}})(\mathbf{x} - \bar{\mathbf{x}})^T\right) \mathbf{K}^T = \mathbf{K}\mathbf{C}\mathbf{K}^T\end{aligned}$$

To make \mathbf{C}_x a diagonal matrix, the KLT transform matrix \mathbf{K} should diagonalize \mathbf{C} . Suppose that the rows of \mathbf{K} are the eigenvectors of \mathbf{C} is:

$$\mathbf{C} = \mathbf{E}\mathbf{D}\mathbf{E}^T$$

* 最佳解 \rightarrow Eigen factor.

where each column of \mathbf{E} is an orthonormalized eigenvector of \mathbf{C} and each diagonal entry of the diagonal matrix \mathbf{D} is the eigenvalue, then we can set

$$\mathbf{K} = \mathbf{E}^T$$

Then

$$\mathbf{C}_x = \mathbf{E}^T \mathbf{E} \mathbf{D} \mathbf{E}^T \mathbf{E} = \mathbf{D}$$

is a diagonal matrix.

- 2-D Case
$$X[u, v] = \sum_{m=0}^{M-1} \sum_{n=0}^{N-1} x[m, n] K[u, m] K[v, n]$$

KLT 缺點: dependent on image

(不實際，需要一併記錄 transform matrix)

Reference

W. D. Ray and R. M. Driver, "Further decomposition of the Karhunen-Loeve series representation of a stationary random process," *IEEE Trans. Inf. Theory*, vol. 16, no. 6, pp. 663-668, Nov. 1970.

◎ 7-F Suboptimal Transform-- DCT

• DCT: Discrete Cosine Transform

Suboptimal, but independent of the input

$$F[u, v] = \frac{2C[u]C[v]}{N} \sum_{m=0}^{N-1} \sum_{n=0}^{N-1} f[m, n] \cos \frac{(2m+1)u\pi}{2N} \cos \frac{(2n+1)v\pi}{2N}$$

$$C[0] = 1/\sqrt{2}, \quad C[u] = 1 \text{ for } u \neq 0$$

IDCT: inverse discrete cosine transform

$$f[m, n] = \frac{2}{N} \sum_{u=0}^{M-1} \sum_{v=0}^{N-1} F[u, v] C[u] C[v] \cos \frac{(2m+1)u\pi}{2N} \cos \frac{(2n+1)v\pi}{2N}$$

對於大部分的影像而言，DCT 能夠近似 KLT (near optimal)

尤其是當 $\text{corr}\{f[m, n], f[m+\tau, n+\eta]\} = \rho^{|\tau|} \rho^{|\eta|}$, $\rho \rightarrow 1$ 時

有 fast algorithm

Advantage: (1) independent of the input (2) near optimal (3) real output

完全無關 input

$\rho \rightarrow 1$, 最佳化

DCT

$$F[u, v] = \frac{2C[u]C[v]}{N} \sum_{m=0}^{N-1} \sum_{n=0}^{N-1} f[m, n] \cos \frac{(2m+1)u\pi}{2N} \cos \frac{(2n+1)v\pi}{2N}$$

$$C[0] = 1/\sqrt{2} \quad , \quad C[u] = 1 \text{ for } u \neq 0$$

$$[u, v] = [0, 0]: \text{DC term} \quad F[0, 0] = \frac{1}{N} \sum_{m=0}^{N-1} \sum_{n=0}^{N-1} f[m, n]$$

$u \neq 0$ or $v \neq 0$: AC terms

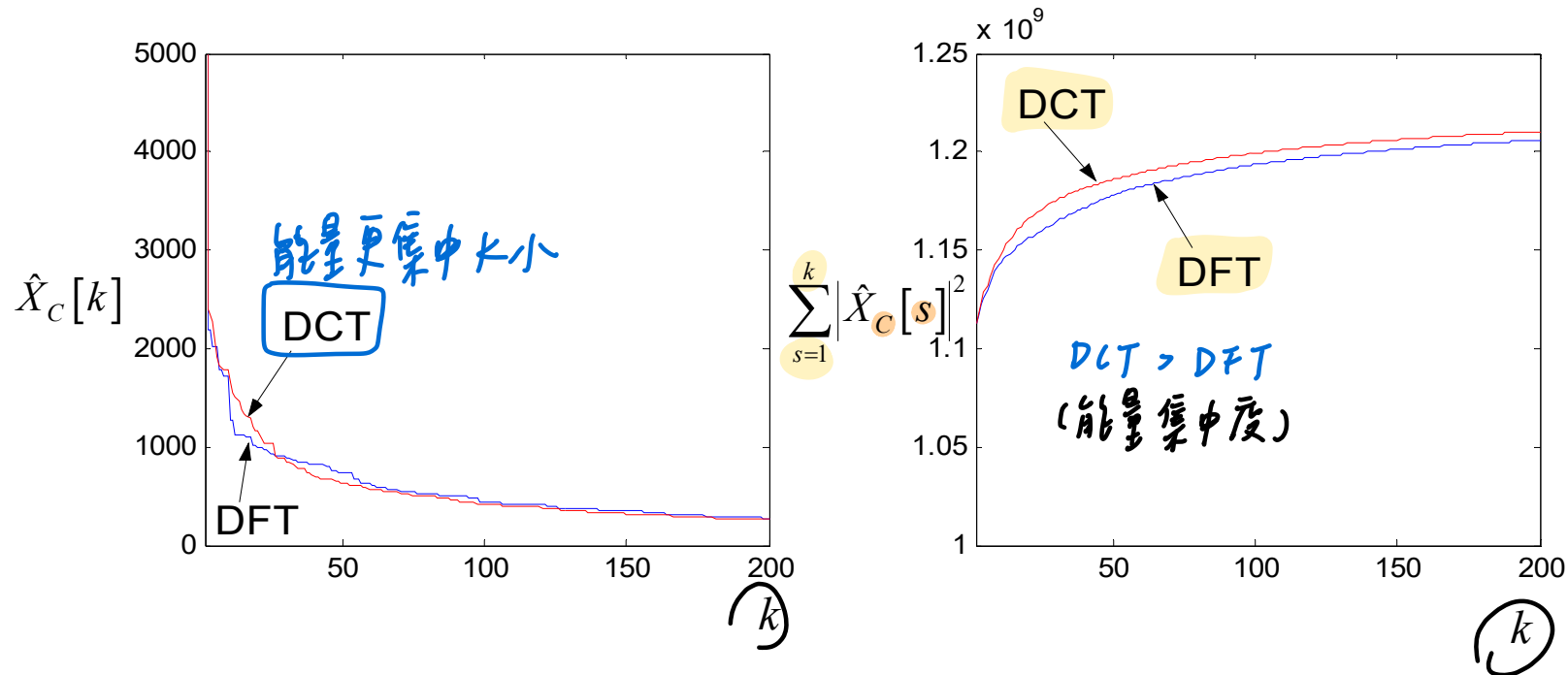
借用電路學的名詞

左圖：將 DFT，DCT 各點能量(開根號)由大到小排序

右圖：累積能量

DCT output

$$X_C[p, q] \xrightarrow{\text{sort}} \hat{X}_C[k] \quad \hat{X}_C[1] \geq \hat{X}_C[2] \geq \hat{X}_C[3] \geq \dots$$



Energy concentration at low frequencies: KLT > DCT > DFT

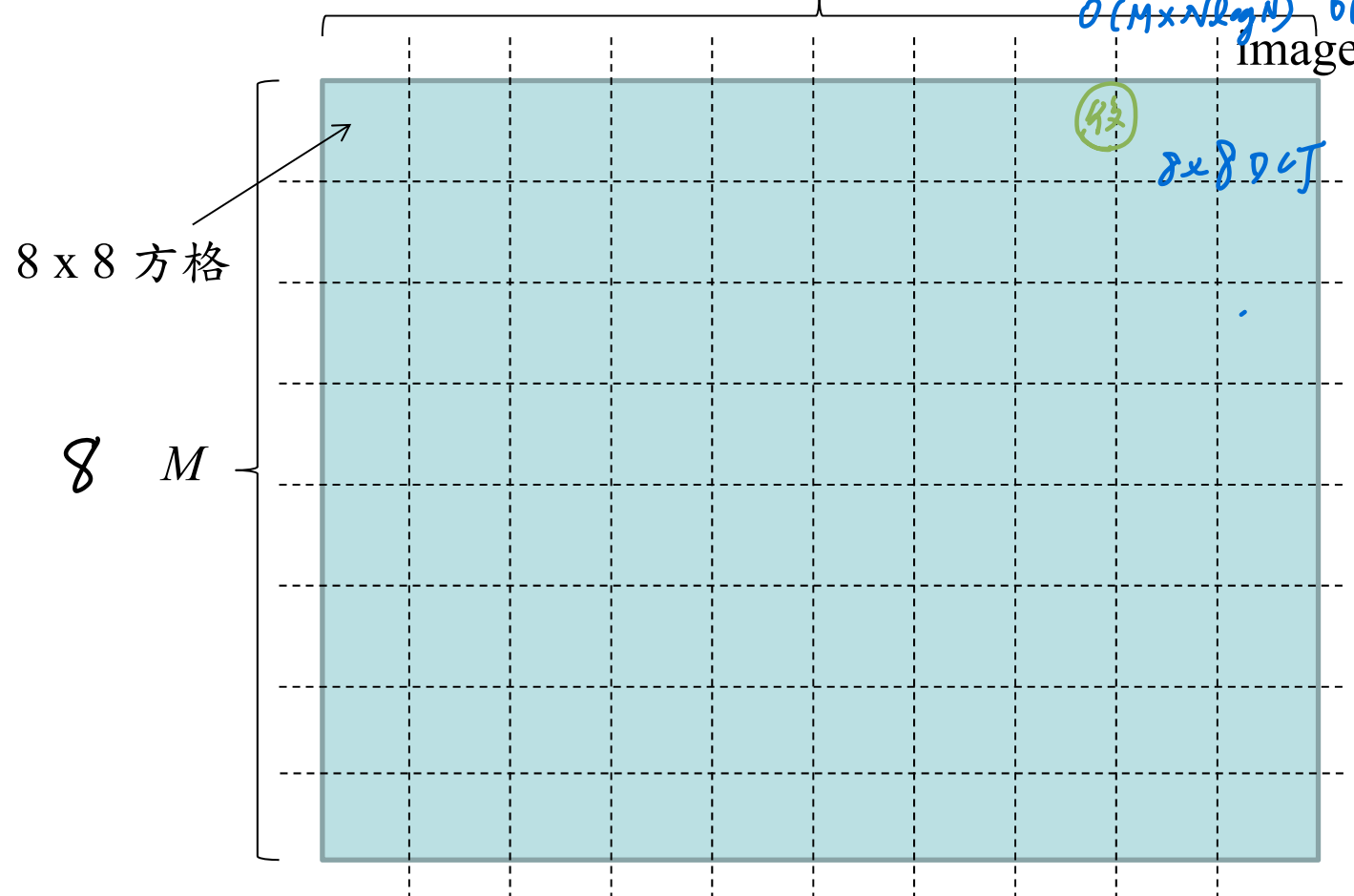
通常，我們將影像切成 8×8 的方格作DCT

Why: \Rightarrow 局部特性 才能被突顯出!

(1) 分布隨空間分布不同. \times 全局特性 \checkmark 可大量考慮

(2) 暫存記憶體所需少 $\text{原}^M \rightarrow N$ $M \rightarrow N$

(3) 減少運算複雜度 $\rightarrow \downarrow$ $\begin{bmatrix} \rightarrow \\ \rightarrow \\ \rightarrow \end{bmatrix}$ \downarrow $\begin{bmatrix} \rightarrow \\ \rightarrow \\ \rightarrow \end{bmatrix}$
 $O(M \times N \log N)$ $O(N \times M \log M)$



References

- [1] N. Ahmed, T. Natarajan, and K. R. Rao, “Discrete cosine transform,” *IEEE Trans. Comput.*, vol. C-23, pp. 90-93, Jan 1974.
- [2] K. R. Rao and P. Yip, *Discrete Cosine Transform, Algorithms, Advantage, Applications*, New York: Academic, 1990.

VIII. Data Compression (B)

◎ 8-A Differential Coding for DC Terms, Zigzag for AC Terms

這兩者可視為 JPEG Huffman coding 的前置工作

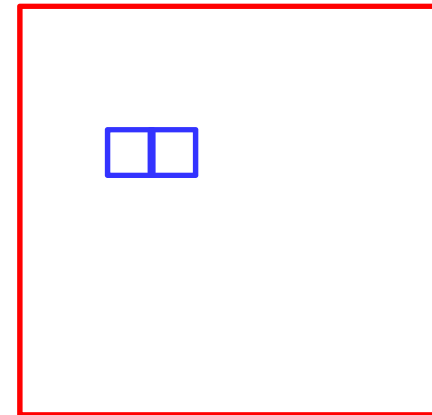
Differential Coding (差分編碼)

If the DC term of the $(i, j)^{\text{th}}$ block is denoted by $DC[i, j]$, then

encode $DC[i, j] - DC[i, j-1]$

Instead of $DC[i, j]$

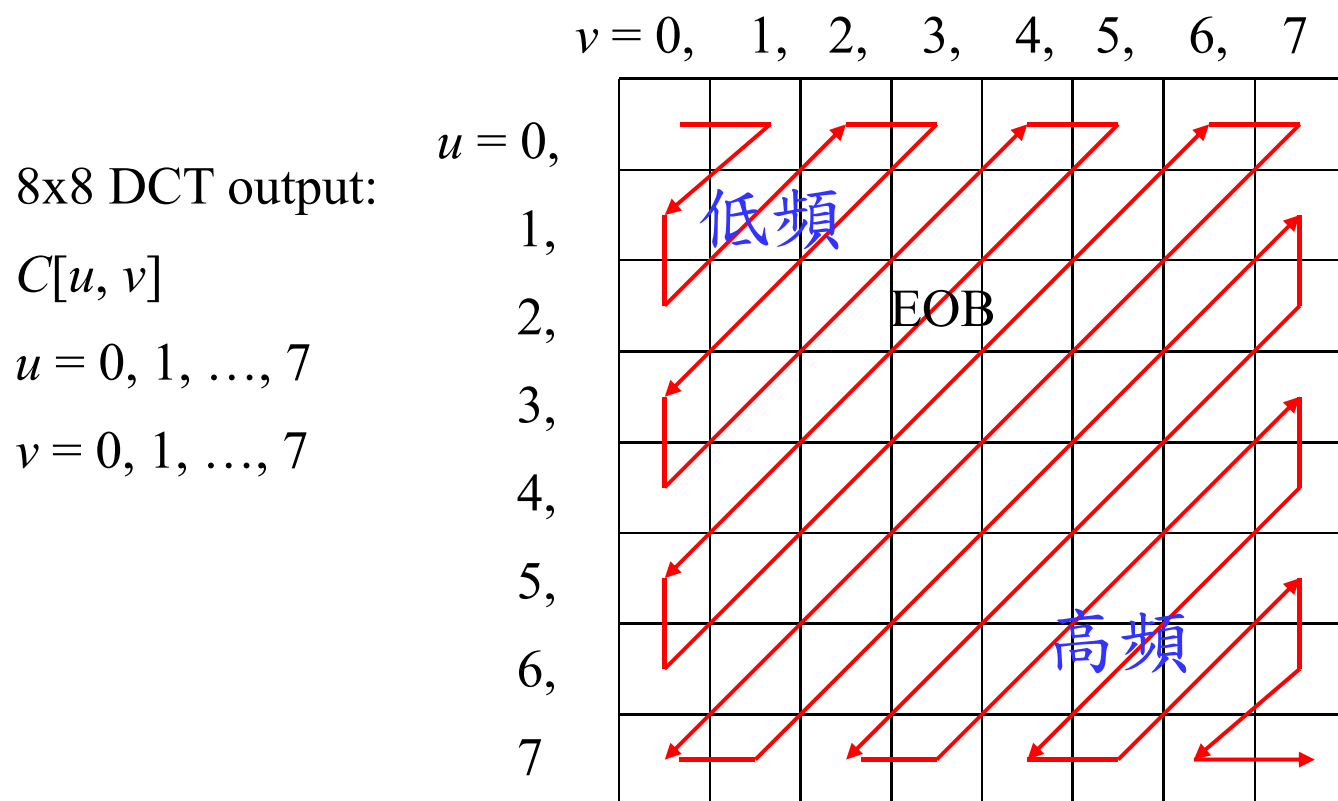
(也是運用 space domain 上的一致性)



Zigzag scanning

將 2D 的 8x8 DCT outputs 變成 1D 的型態

但按照“zigzag”的順序 (能量可能較大的在前面)



EOB (end of block):

指後面的高頻的部分經過 quantization 之後皆為0

(也是運用 frequency domain 上的一致性)

© 8-B Lossless Coding

Lossless Coding: The original data can be perfectly recovered

Example:

direct coding method

Huffman coding

Arithmetic coding

Shannon–Fano Coding, Golomb coding, Lempel–Ziv,

◎ 8-C Lossless Coding: Huffman Coding

- Huffman Coding 的編碼原則: (Greedy Algorithm)

- (1) 所有的碼皆在 Coding Tree 的端點，再下去沒有分枝
(滿足一致解碼和瞬間解碼)
- (2) 機率越大的，code length 越短；機率越小的，code length 越長
- (3) 假設 S_a 是第 L 層的 node， S_b 是第 $L+1$ 層的 node
則 $P(S_a) \geq P(S_b)$ 必需滿足

不滿足以上的條件則往上推一層

原始的編碼方式：

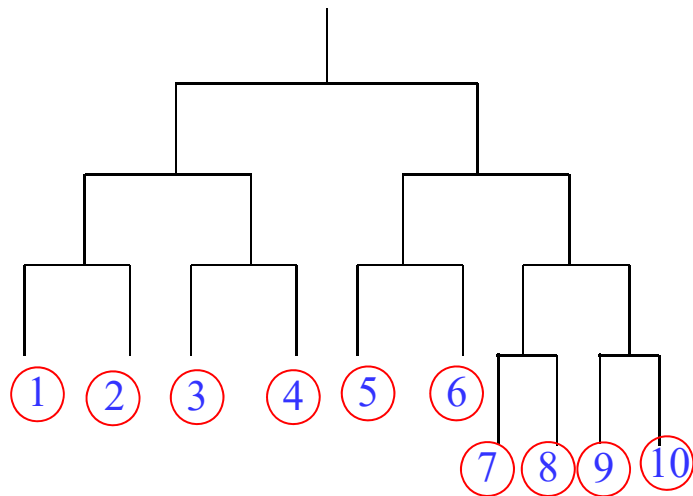
若 data 有 M 個可能的值，使用 k 進位的編碼，
則每一個可能的值使用 $\text{floor}(\log_k M)$ 或 $\text{ceil}(\log_k M)$ 個 bits 來編碼

floor: 無條件捨去

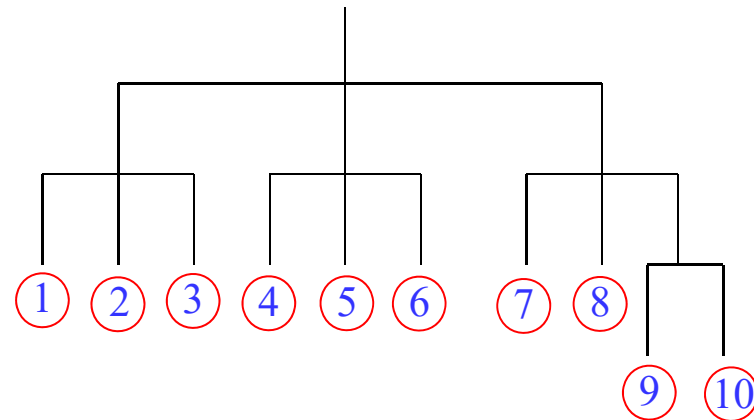
ceil: 無條件進位

Example:

若有 8 個可能的值，在 2 進位的情形下，需要 3 個 bits



若有 10 個可能的值，在 3 進位的情形下，需要 2 個或 3 個 bits



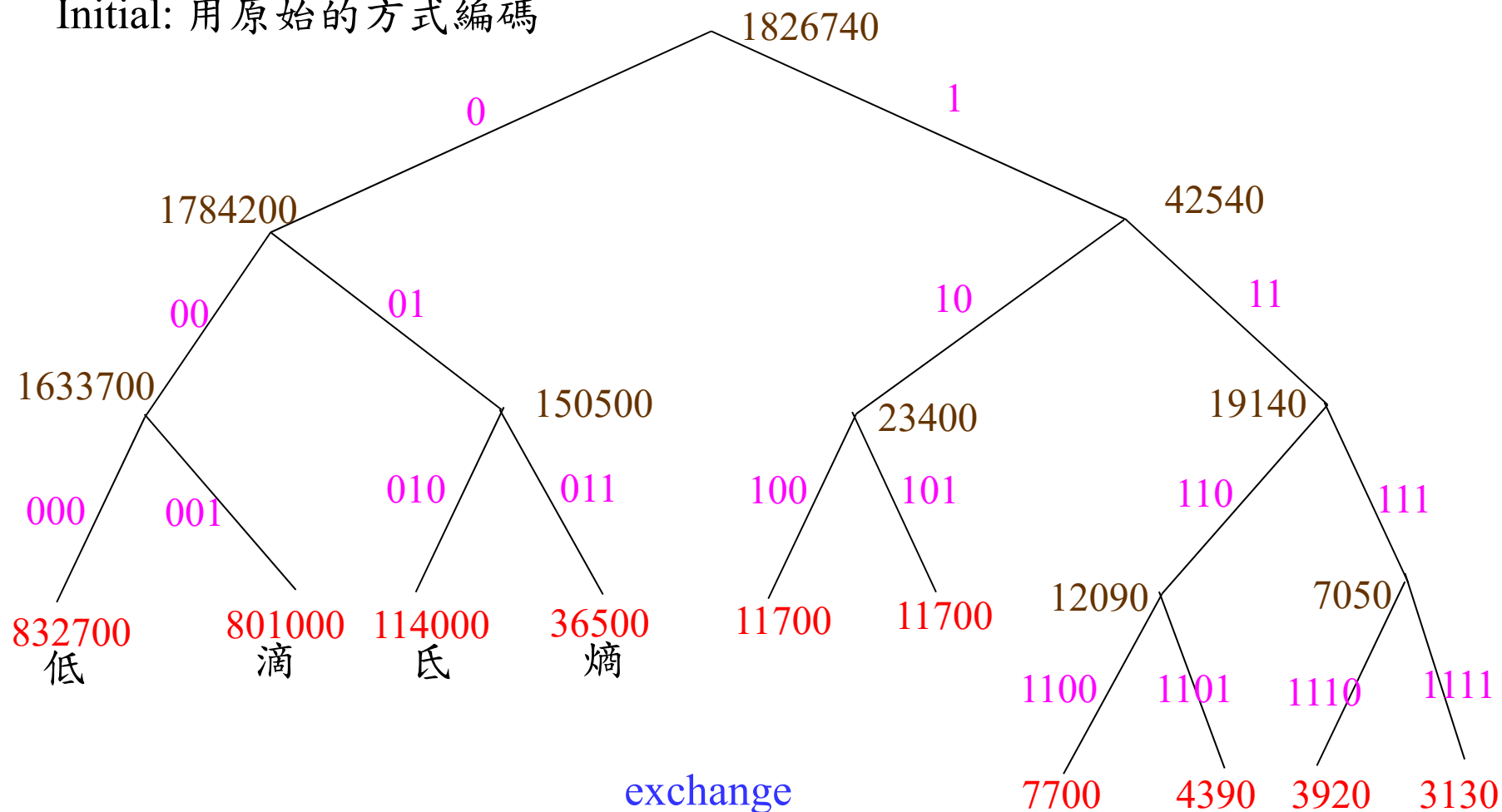
Example:

低	滴	氏	羝	鞞
832700	801000	114000	7700	4390
磳	祗	蒟	塢	熵
3920	11700	11700	3130	36500

他們 2 進位的 Huffman Code 該如何編

Huffman coding

Initial: 用原始的方式編碼



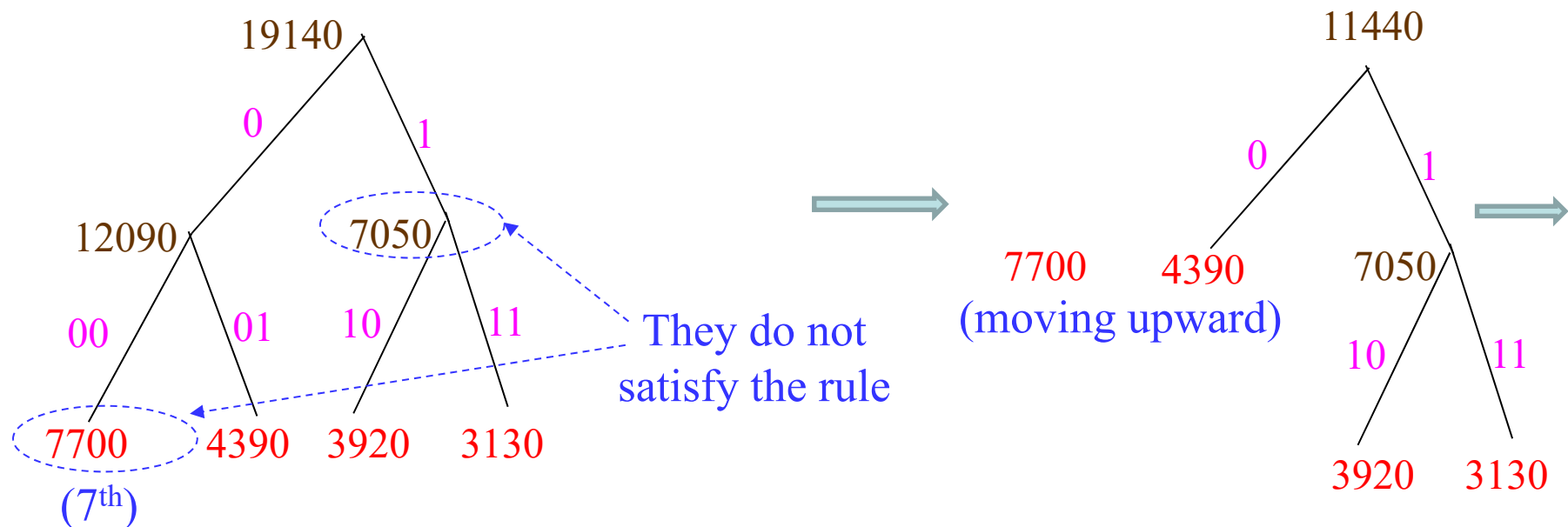
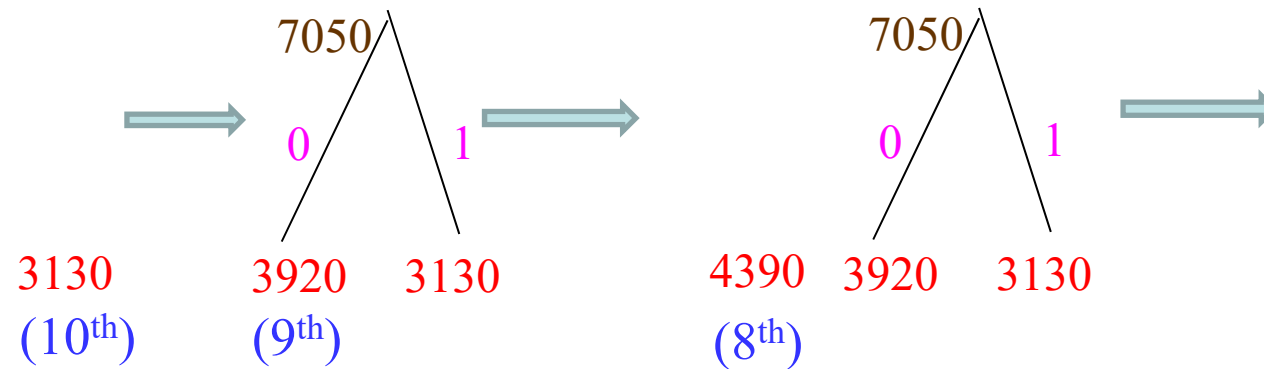
average code length = 3.0105

The rules of the Huffman coding process.

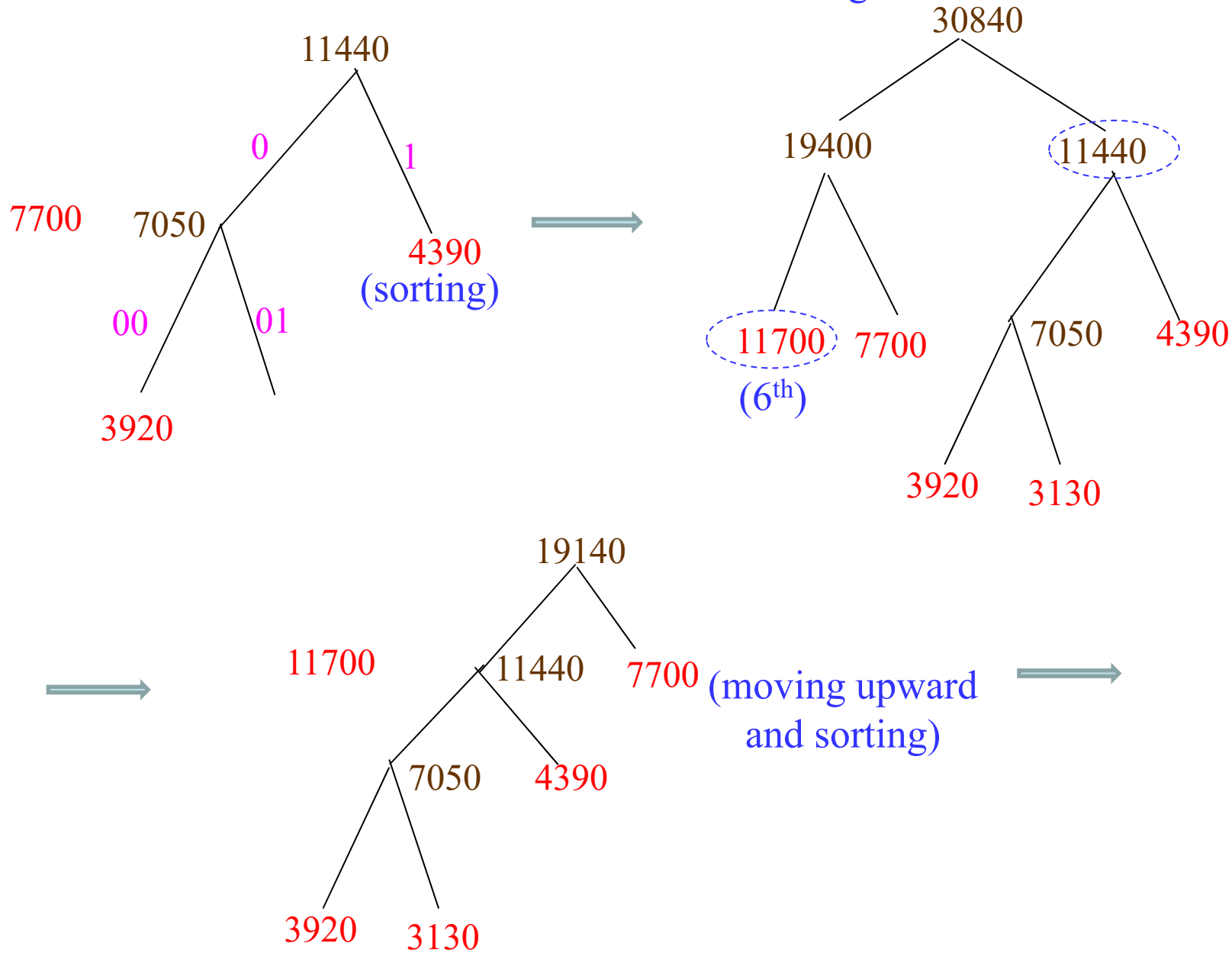
- (1) Process the case with lower probability first
- (2) If the node in the lower layer has higher probability, then move it upward.
- (3) For the node to be moved upward, if it has a partner, then move the partner, too.
- (4) Re-sort after moving upward.

Huffman coding

由機率低的開始編碼，一步一步加進機率高的

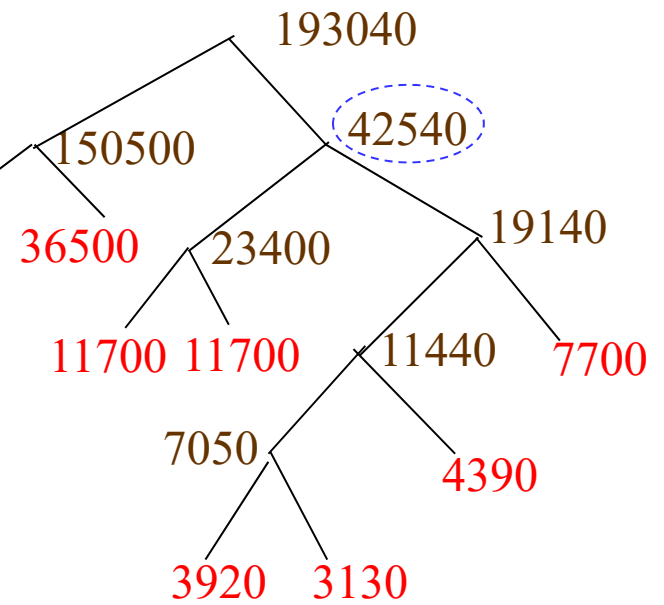
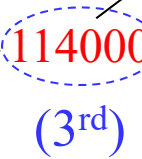
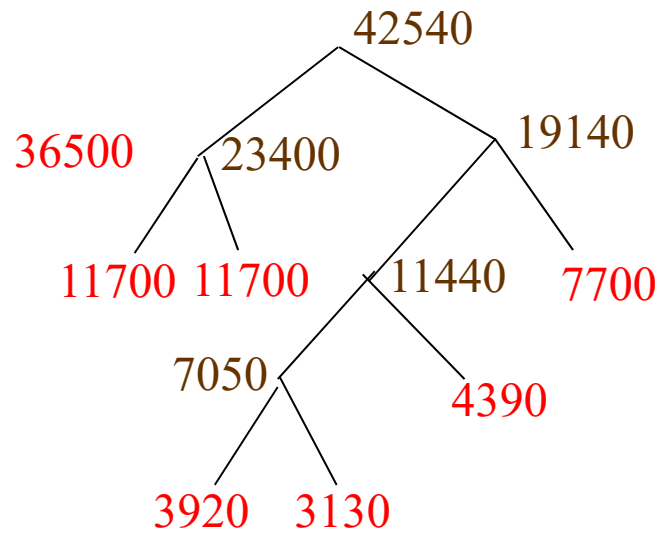
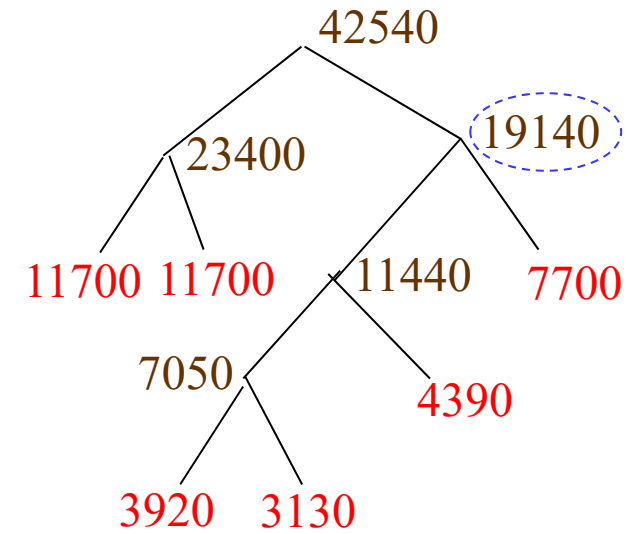
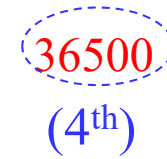
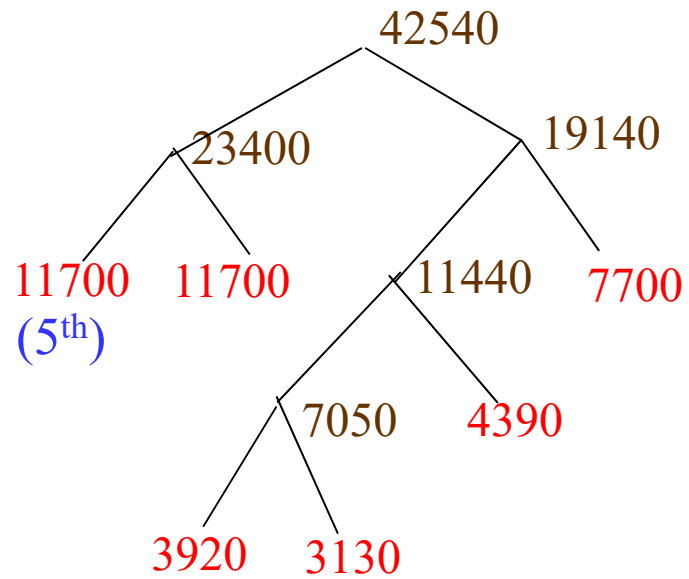


Huffman coding



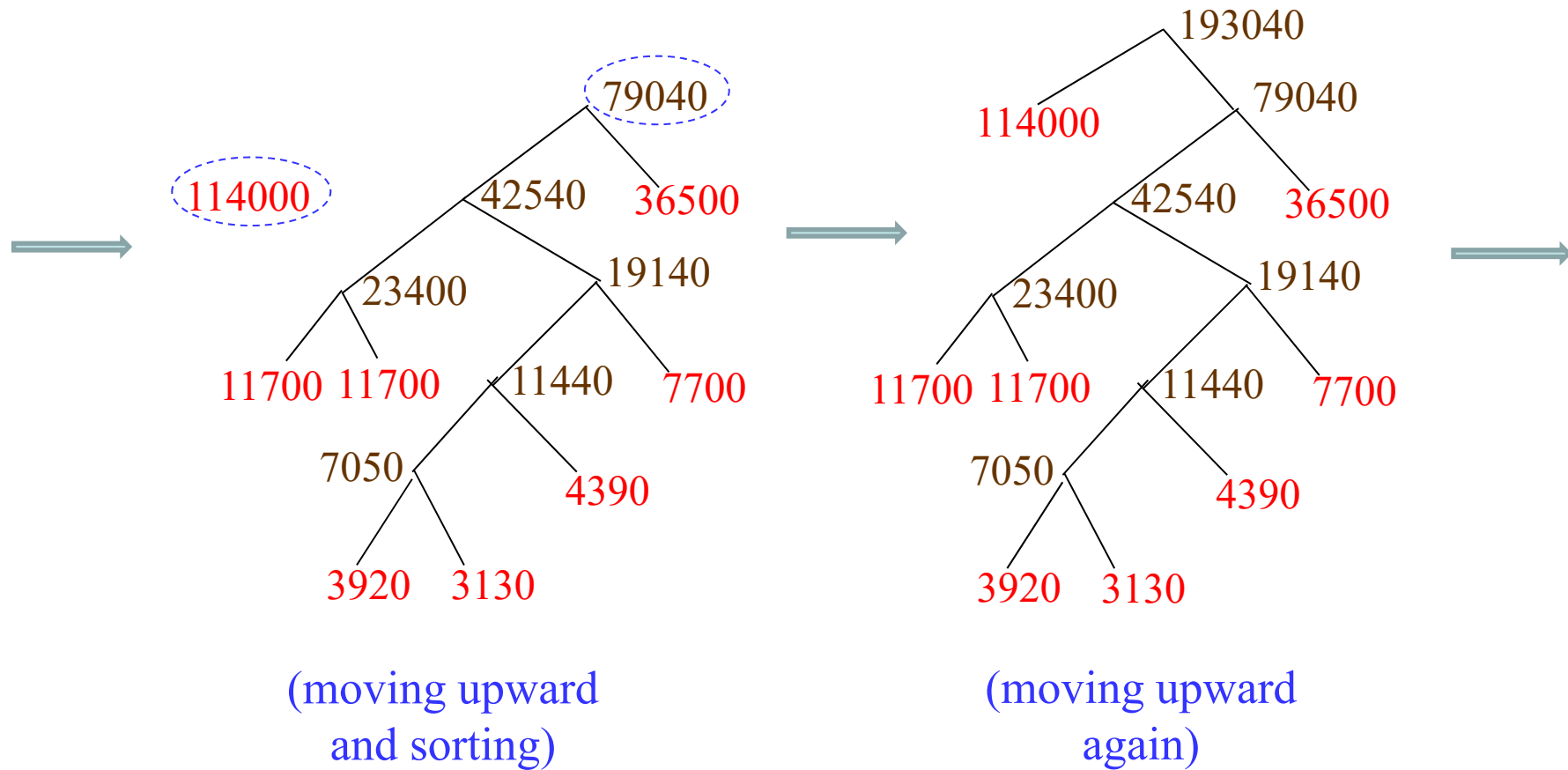
Huffman coding

308



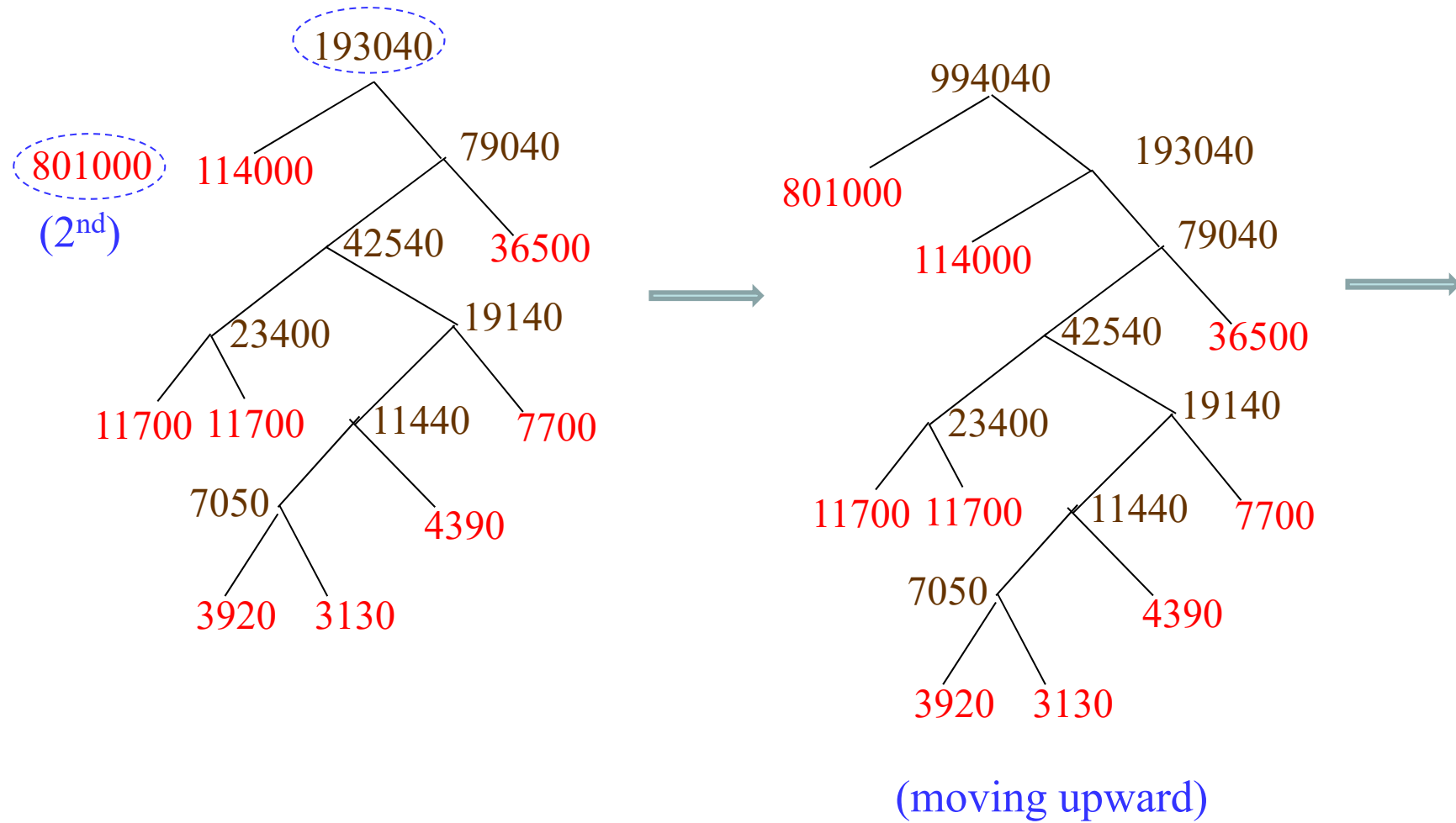
Huffman coding

309



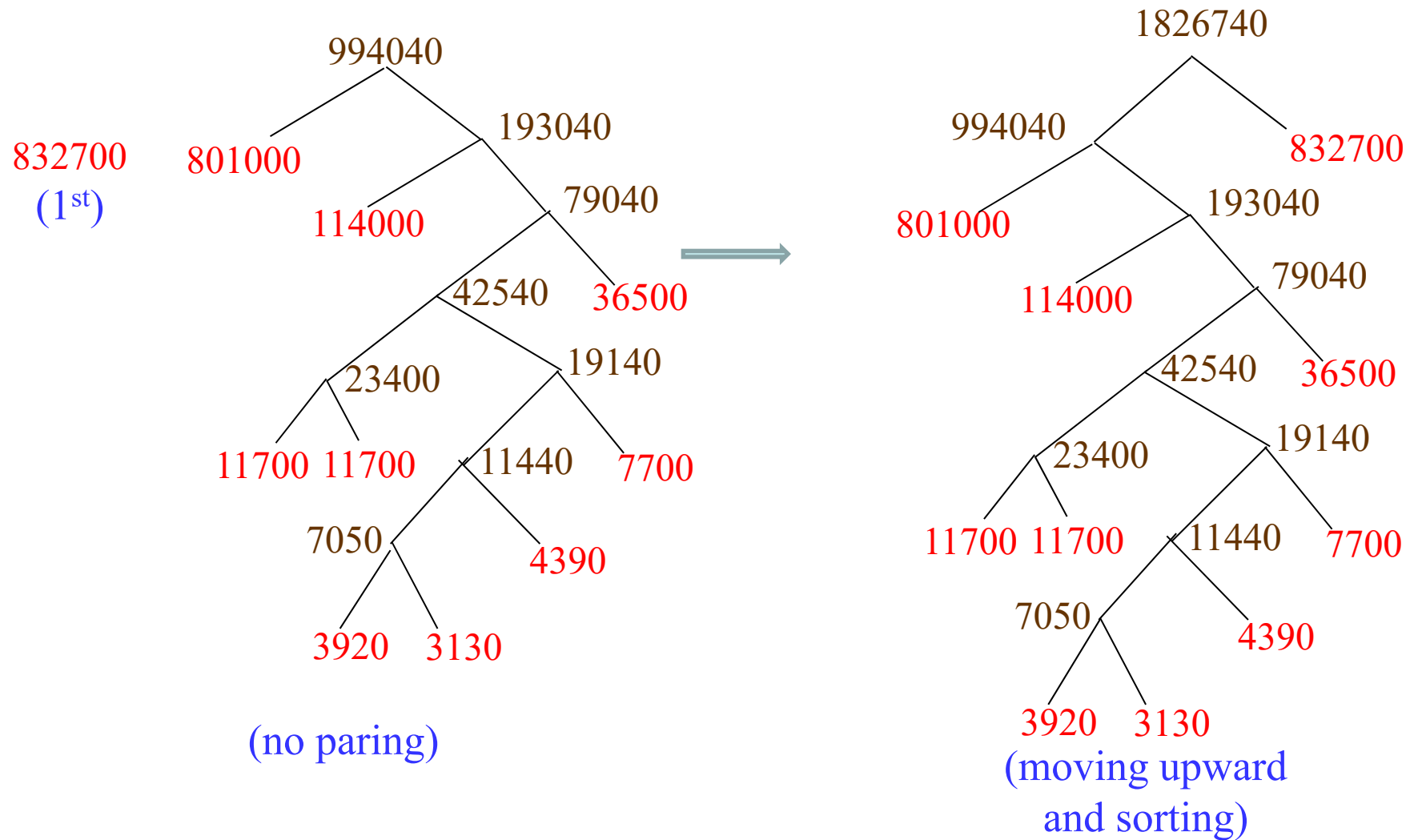
Huffman coding

310



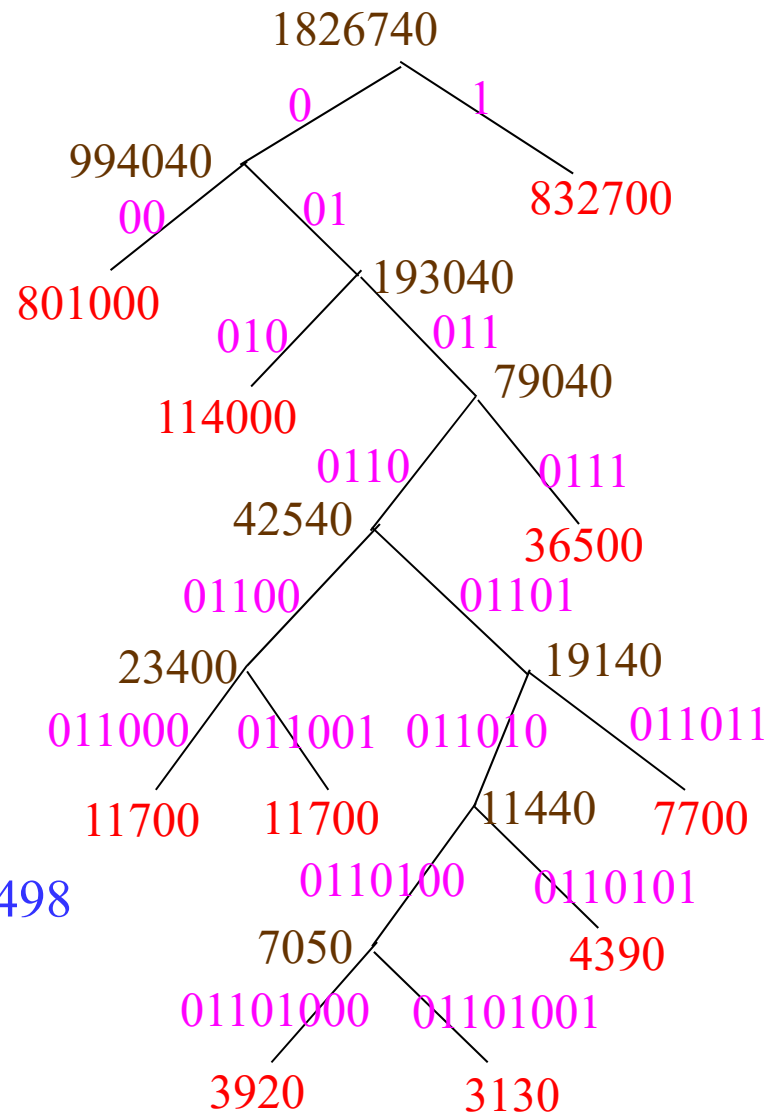
Huffman coding

311



Huffman coding by the greedy algorithm

312



average code length = 1.7498

entropy/log(2) = 1.5830

思考： 郵遞區號是多少進位的編碼？

電話號碼的區域碼是多少進位的編碼？

中文輸入法是多少進位的編碼？

如何用 Huffman coding 來處理類似問題？

◎ 8-D Entropy and Coding Length

- Entropy 熵；亂度 (Information Theory)

註：此處 \log 即 \ln
和 \log_{10} 不同

$$entropy = \sum_{j=1}^J P(S_j) \log \frac{1}{P(S_j)} \quad P: \text{probability}$$

$$P(S_0) = 1, \text{ entropy} = 0$$

$$P(S_0) = P(S_1) = 0.5, \text{ entropy} = 0.6931$$

$$P(S_0) = P(S_1) = P(S_2) = P(S_3) = P(S_4) = 1/5, \text{ entropy} = 1.6094$$

$$P(S_0) = P(S_1) = P(S_2) = P(S_3) = 0.1, P(S_4) = 0.6, \text{ entropy} = 1.2275$$

同樣是有 5 種組合，機率分佈越集中，亂度越少

- Huffman Coding 的平均長度

$$mean(L) = \sum_{j=1}^J P(S_j) L(S_j) \quad P(S_j): S_j \text{ 發生的機率}, \quad L(S_j): S_j \text{ 的編碼長度}$$

- ★ ★ • Shannon 編碼定理：

$$\frac{entropy}{\log k} \leq mean(L) \leq \frac{entropy}{\log k} + 1 \quad \text{若使用 } k \text{ 進位的編碼}$$

- Huffman Coding 的 total coding length $b = mean(L)N$ N : data length

$$\left\lceil N \frac{entropy}{\log k} \right\rceil \leq b \leq \left\lfloor N \frac{entropy}{\log k} + N \right\rfloor$$

都和 entropy 有密切關係

ceil: 無條件進位, floor: 無條件捨去

Entropy: 估計 coding length 的重要工具

$$\frac{entropy}{\log k} \cong \text{average bit length}$$

$$N \frac{entropy}{\log k} \cong \text{total bit length}$$

◎ 8-E Arithmetic Coding

- Arithmetic Coding (算術編碼)

Huffman coding 是將每一筆資料分開編碼

Arithmetic coding 則是將多筆資料一起編碼，因此壓縮效率比 Huffman coding 更高，近年來的資料壓縮技術大多使用 arithmetic coding

K. Sayood, *Introduction to Data Compression*, Chapter 4: Arithmetic coding, 3rd ed., Amsterdam, Elsevier, 2006

編碼

若 data X 有 M 個可能的值 ($X[i] = 1, 2, \dots, \text{or } M$)，使用 k 進位的編碼，且

P_n : the probability of $x = n$ (from prediction)

$$S_0 = 0, \quad S_n = \sum_{j=1}^n P_j$$

現在要對 data X 做編碼，假設 $\text{length}(X) = N$

Algorithm for arithmetic encoding

initiation: $lower = S_{X[1]-1}$ $upper = S_{X[1]}$

for $i = 2 : N$

$$lower = lower + S_{X[i]-1} \times (upper - lower)$$

$$upper = lower + S_{X[i]} \times (upper - lower)$$

end

(continue)...

Suppose that

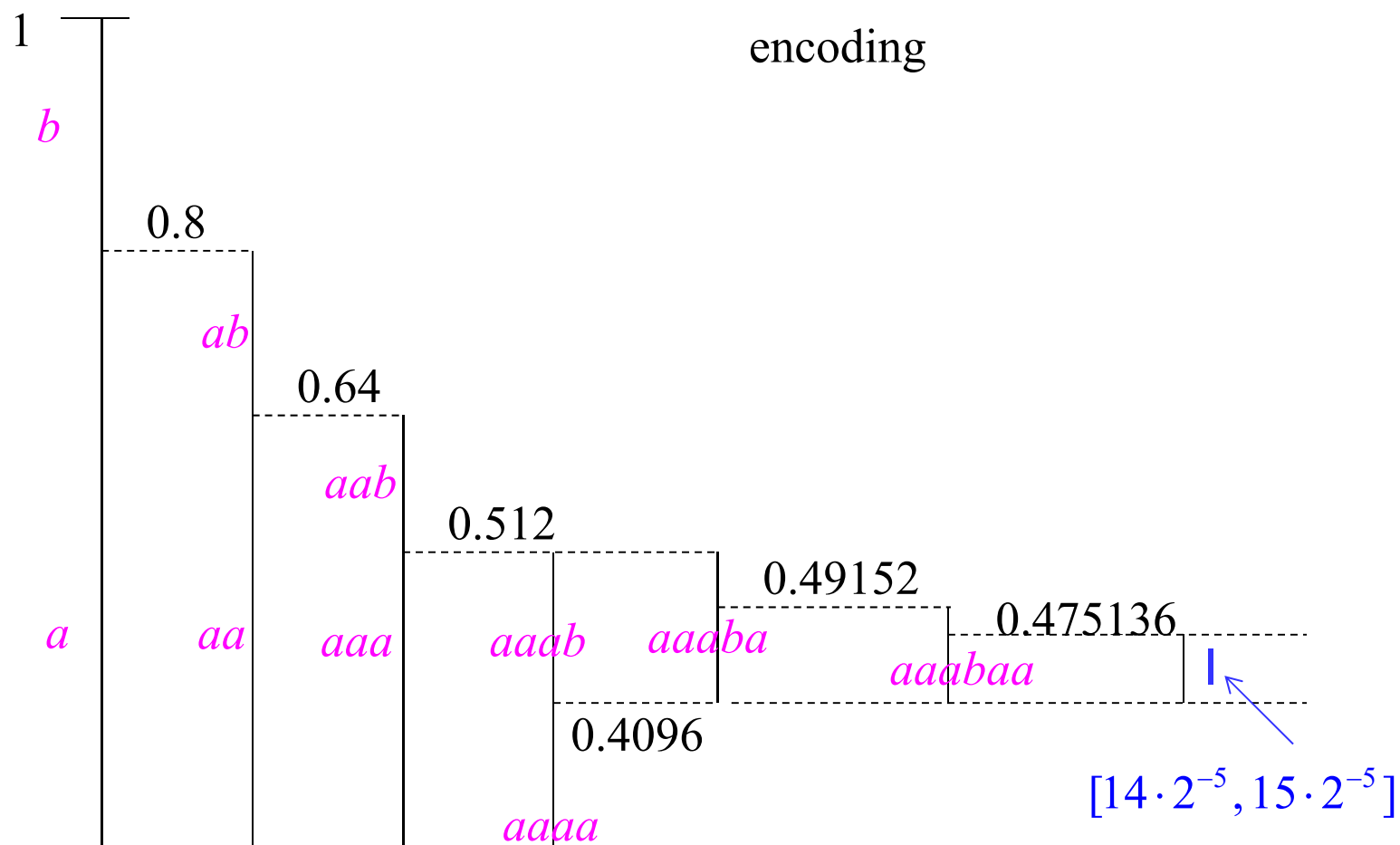
$$lower \leq C \cdot k^{-b} < (C+1) \cdot k^{-b} \leq upper$$

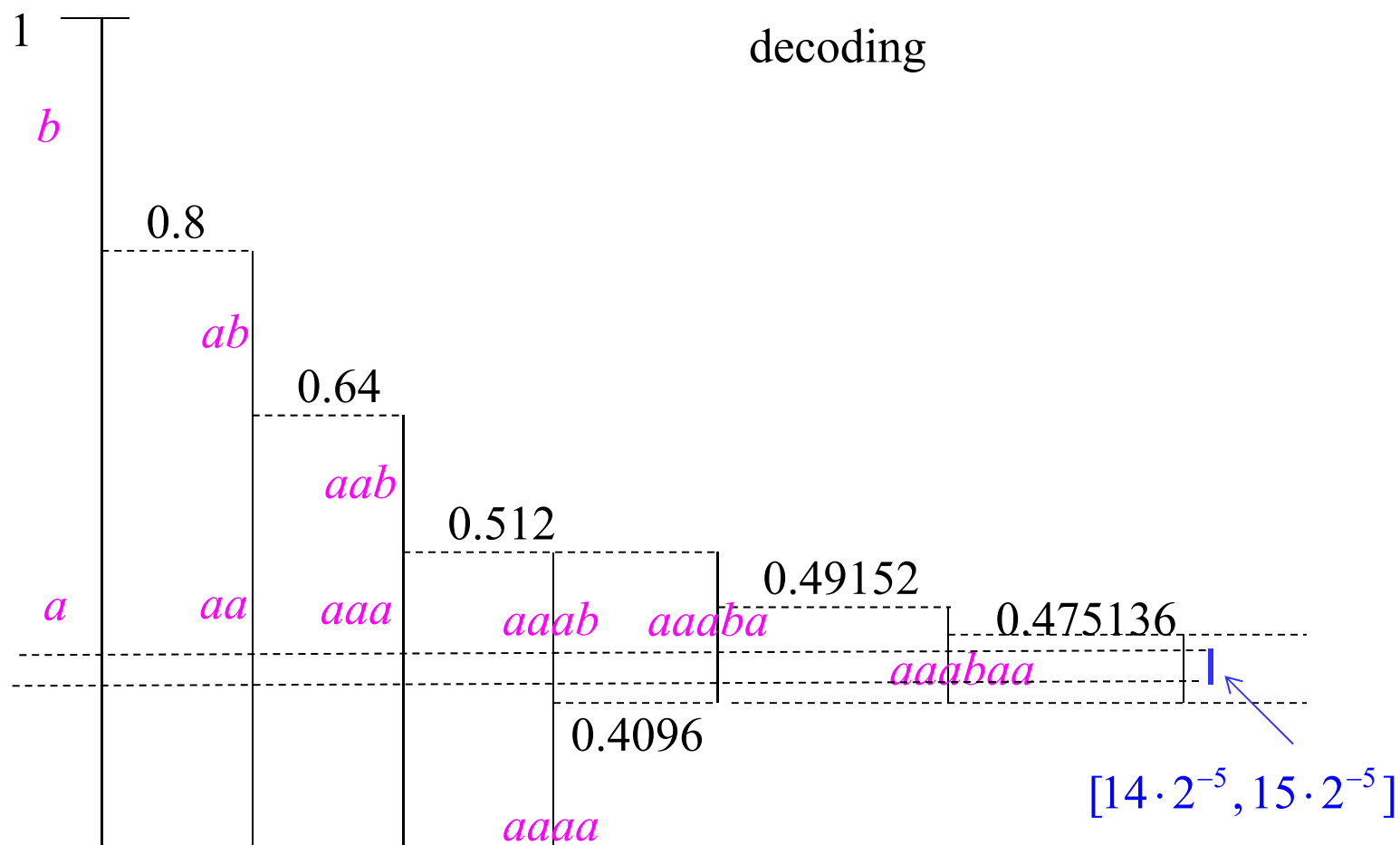
where C and b are integers (b is as small as possible), then the data X can be encoded by

$$C_{(k,b)}$$

where $C_{(k,b)}$ means that using k -ary (k 進位) and b bits to express C .

(註：Arithmetic coding 還有其他不同的方式，以上是使用其中一個較簡單的 range encoding 的方式)





Example:

假設要對 X 來做二進位 ($k=2$) 的編碼

且經由事先的估計， $X[i] = a$ 的機率為 0.8, $X[i] = b$ 的機率為 0.2

$$\longrightarrow P_1 = 0.8, \quad P_2 = 0.2, \quad S_0 = 0, \quad S_1 = 0.8, \quad S_2 = 1$$

若實際上輸入的資料為 $X = a a a b a a$

Initiation ($X[1] = a$): $lower = 0, \quad upper = 0.8$

When $i = 2$ ($X[2] = a$): $lower = 0, \quad upper = 0.64$

When $i = 3$ ($X[3] = a$): $lower = 0, \quad upper = 0.512$

When $i = 4$ ($X[4] = b$): $lower = 0.4096, \quad upper = 0.512$

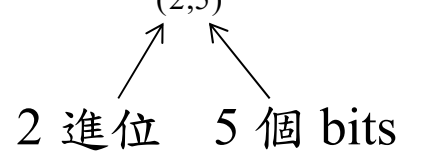
When $i = 5$ ($X[5] = a$): $lower = 0.4096, \quad upper = 0.49152$

When $i = 6$ ($X[6] = a$): $lower = 0.4096, \quad upper = 0.475136$

由於 $lower = 0.4096$, $upper = 0.475136$

$$lower \leq 14 \cdot 2^{-5} < 15 \cdot 2^{-5} \leq upper$$
$$0.4375 \quad 0.46875$$

所以編碼的結果為

$$14_{(2,5)} = 01110$$


2 進位 5 個 bits

解碼

假設編碼的結果為 Y , $\text{length}(Y) = b$

其他的假設，和編碼 (see page 318) 相同 使用 k 進位的編碼

Algorithm for arithmetic decoding

```

initiation:       $lower = 0$                  $upper = 1$                  $j = 1$ 
                   $lower\ 1 = 0$              $upper\ 1 = 1$ 

for  $i = 1 : N$           % loop 1
    check = 1;
    while check = 1      % loop 2
        if there exists an  $n$  such that
             $lower + (upper - lower)S_{n-1} \leq lower\ 1$    and
             $lower + (upper - lower)S_n \geq upper\ 1$      are both satisfied,
        then
            check = 0;
                                     (continue)....

```

```

else
     $upper\ 1 = lower\ 1 + (Y[j] + 1)k^{-j}$ 
     $lower\ 1 = lower\ 1 + Y[j]k^{-j}$ 
     $j = j + 1$ 
end
end                                     % end of loop 2
 $X(i) = n;$ 
 $lower = lower + (upper - lower)S_{n-1}$ 
 $upper = lower + (upper - lower)S_n$ 
end                                     % end of loop 1

```

Coding Length for Arithmetic Coding

假設 P_n 是預測的 $X[i] = n$ 的機率

Q_n 是實際上的 $X[i] = n$ 的機率

(也就是說，若 $\text{length}(X) = N$, X 當中會有 $Q_n N$ 個 elements 等於 n)

則

$$upper - lower = \prod_{m=1}^M P_m^{Q_m N} \quad \prod : \text{連乘符號}$$

另一方面，由於 (from page 319)

$$k^{-b} \leq upper - lower < (2k)k^{-b}$$

$$-\log_k (upper - lower) \leq b < -\log_k (upper - lower) + 1 + \log_k 2$$

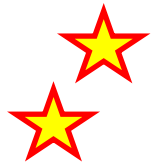
$$\text{ceil} \left(-N \sum_{m=1}^M Q_m \log_k P_m \right) \leq b \leq \text{floor} \left(-N \sum_{m=1}^M Q_m \log_k P_m + \log_k 2 \right) + 1$$

$$\text{ceil}\left(-N \sum_{m=1}^M Q_m \log_k P_m\right) \leq b \leq \text{floor}\left(-N \sum_{m=1}^M Q_m \log_k P_m + \log_k 2\right) + 1$$

在機率的預測完全準確的情形下， $Q_m = P_m$

Total coding length b 的範圍是

$$\text{ceil}\left(-N \sum_{m=1}^M P_m \log_k P_m\right) \leq b \leq \text{floor}\left(-N \sum_{m=1}^M P_m \log_k P_m + \log_k 2\right) + 1$$



$$\text{ceil}\left(N \cdot \frac{\text{entropy}}{\log k}\right) \leq b \leq \text{floor}\left(N \cdot \frac{\text{entropy}}{\log k} + \log_k 2 + 1\right)$$

(Compared to page 315)

Arithmetic coding 的 total coding length 的上限比 Huffman coding 更低

◎ 8-F MPEG

MPEG：動態影像編碼的國際標準 全名：Moving Picture Experts Group

MPEG standard： <http://www.iso.org/iso/prods-services/popstds/mpeg.html>

MPEG 官方網站： <http://mpeg.chiariglione.org/>

人類的視覺暫留：1/24 second

一個動態影像，每秒有 30個或 60個畫格 (frames)



例子：

Pepsi 的廣告

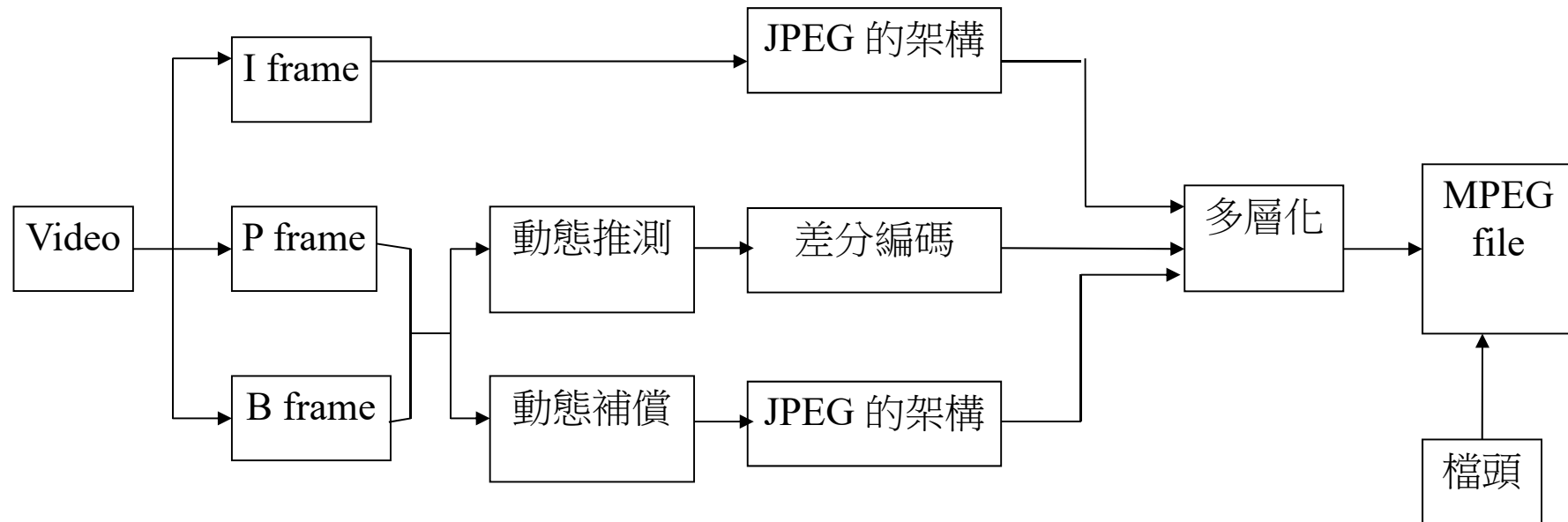
Size: 160×120 Time: 29 sec 一秒 30 個 frames

若不作壓縮： $160 \times 120 \times 29 \times 30 \times 3 = 50112000 = 47.79 \text{ M bytes}$ 。

經過 MPEG 壓縮： $1140740 = 1.09 \text{ M bytes}$ 。

只有原來的 2.276%。

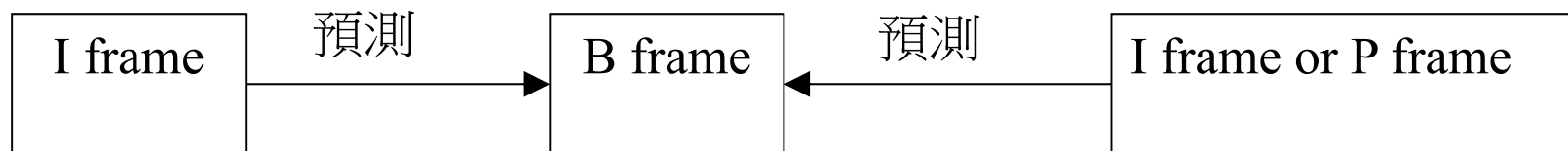
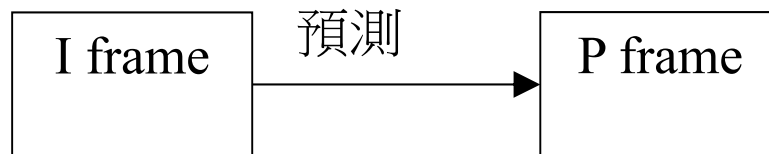
- Flowchart of MPEG Compression



I frame (Intra-coded picture): 作為參考的畫格

P frame (Predictive-coded picture): 由之前的畫格來做預測

B frame (Bi-directionally predictive-coded picture): 由之前及之後的畫格來做預測



I frame: The coding method is the same as that of the still image.

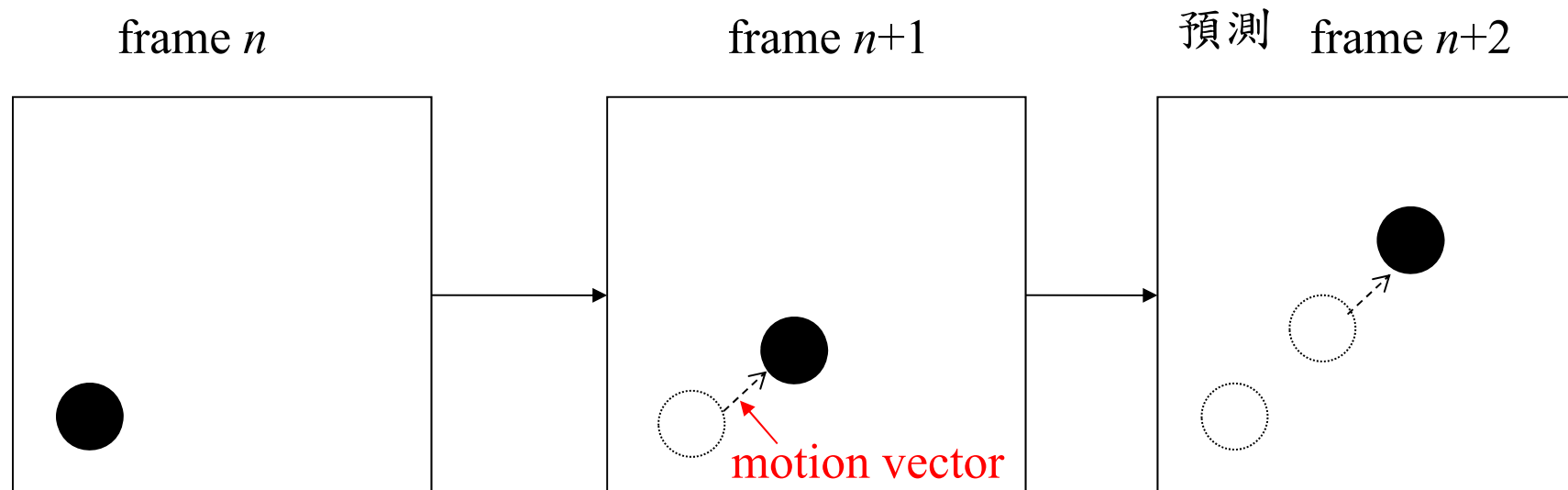
P and B frames: The prediction residues is encoded.

- 動態影像之編碼

原理：不同時間，同一個 pixel 之間的相關度通常極高
只需對有移動的 objects 記錄 “motion vector”

- 動態補償 (Motion Compensation)

時間相近的影像，彼此間的相關度極高



$F[m, n, t]$: 時間為 t 的影像

如何由 $F[m, n, t]$, $F[m, n, t+\Delta]$ 來預測 $F[m, n, t+2\Delta]$?

(1) 移動向量 $V_x(m, n), V_y(m, n)$

(2) 預測 $F[m, n, t+2\Delta]$:

$$F_p[m, n, t+2\Delta] = F[m - V_x(m, n), n - V_y(m, n), t+\Delta]$$

(3) 計算「預測誤差」

$$E[m, n, t+2\Delta] = F[m, n, t+2\Delta] - F_p[m, n, t+2\Delta]$$

對預測誤差 $E[m, n, t+2\Delta]$ 做編碼

◎ 8-G Data Compression 未來發展的方向

Two important issues:

Q1: How to further improve the compression rate

Q2: How to develop a compression algorithm whose compression rate is acceptable and the buffer size / hardware cost is limited

附錄十：符合人類知覺的相似度測量工具：結構相似度 Structural Similarity (SSIM)

傳統量測兩個信號 (including images, videos, and vocal signals) 之間相似度的方式：

(1) maximal error $Max(|y[m, n] - x[m, n]|)$

(2) mean square error (MSE) $\frac{1}{MN} \sum_{m=0}^{M-1} \sum_{n=0}^{N-1} |y[m, n] - x[m, n]|^2$

(3) normalized mean square error (NMSE) $\frac{\sum_{m=0}^{M-1} \sum_{n=0}^{N-1} |y[m, n] - x[m, n]|^2}{\sum_{m=0}^{M-1} \sum_{n=0}^{N-1} |x[m, n]|^2}$

(4) normalized root mean square error (NRMSE) $\sqrt{\frac{\sum_{m=0}^{M-1} \sum_{n=0}^{N-1} |y[m, n] - x[m, n]|^2}{\sum_{m=0}^{M-1} \sum_{n=0}^{N-1} |x[m, n]|^2}}$

(5) L_α -Norm

$$\|y - x\|_\alpha = \left(\sum_{m=0}^{M-1} \sum_{n=0}^{N-1} |y[m, n] - x[m, n]|^\alpha \right)^{1/\alpha}$$

$$\frac{1}{MN} \|y - x\|_\alpha = \frac{1}{MN} \left(\sum_{m=0}^{M-1} \sum_{n=0}^{N-1} |y[m, n] - x[m, n]|^\alpha \right)^{1/\alpha}$$

(6) signal to noise ratio (SNR)，信號處理常用

$$10 \log_{10} \left(\frac{\sum_{m=0}^{M-1} \sum_{n=0}^{N-1} |x[m, n]|^2}{\sum_{m=0}^{M-1} \sum_{n=0}^{N-1} |y[m, n] - x[m, n]|^2} \right)$$

(7) peak signal to noise ratio (PSNR) , 影像處理常用

$$10\log_{10}\left(\frac{X_{Max}^2}{\frac{1}{MN}\sum_{m=0}^{M-1}\sum_{n=0}^{N-1}|y[m,n]-x[m,n]|^2}\right)$$

X_{Max} : the maximal possible value of $x[m, n]$

In image processing, $X_{Max} = 255$

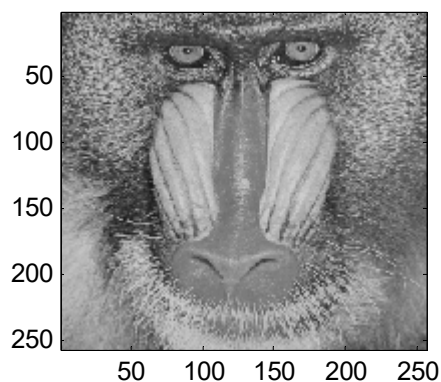
for color image:

$$10\log_{10}\left(\frac{X_{Max}^2}{\frac{1}{3MN}\sum_{R,G,B}\sum_{m=0}^{M-1}\sum_{n=0}^{N-1}|y_{color}[m,n]-x_{color}[m,n]|^2}\right)$$

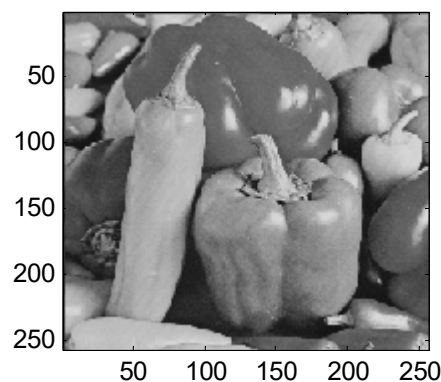
color = R , G , or B

然而，MSE 和 NRMSE 雖然在理論上是合理的，但卻無法反映出實際上兩個影像之間的相似度

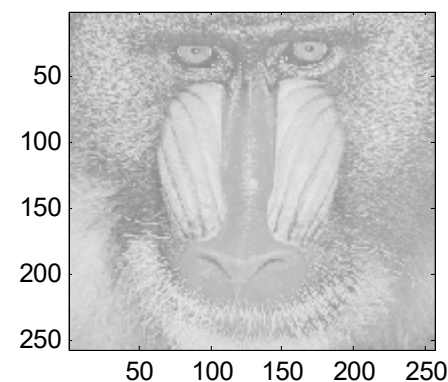
例如：以下這張圖



圖一



圖二



圖三

$$\text{圖三} = \text{圖一} \times 0.5 + 255.5 \times 0.5$$

照理來說，圖一和圖三較相近

然而，圖一和圖二之間的 NRMSE 為 0.4411

圖一和圖三之間的 NRMSE 為 0.4460

(8) Structural Similarity (SSIM)

有鑑於 MSE 和 PSNR 無法完全反映人類視覺上所感受的誤差，在 2004 年被提出來的新的誤差測量方法

$$SSIM(x, y) = \frac{(2\mu_x\mu_y + (c_1L)^2)}{(\mu_x^2 + \mu_y^2 + (c_1L)^2)} \frac{(2\sigma_{xy} + (c_2L)^2)}{(\sigma_x^2 + \sigma_y^2 + (c_2L)^2)}$$

$$DSSIM(x, y) = 1 - SSIM(x, y)$$

μ_x, μ_y : means of x and y σ_x^2, σ_y^2 : variances of x and y

σ_{xy} : covariance of x and y c_1, c_2 : adjustable constants

L : the maximal possible value of x – the minimal possible value of x

Z. Wang, A. C. Bovik, H. R. Sheikh, and E. P. Simoncelli, “Image quality assessment: from error visibility to structural similarity,” *IEEE Trans. Image Processing*, vol. 13, no. 4, pp. 600–612, Apr. 2004.

若使用 SSIM，且前頁的 c_1, c_2 皆選為 $1/\sqrt{L}$

圖一、圖二之間的 SSIM 為 0.1040

圖一、圖三之間的 SSIM 為 0.7720

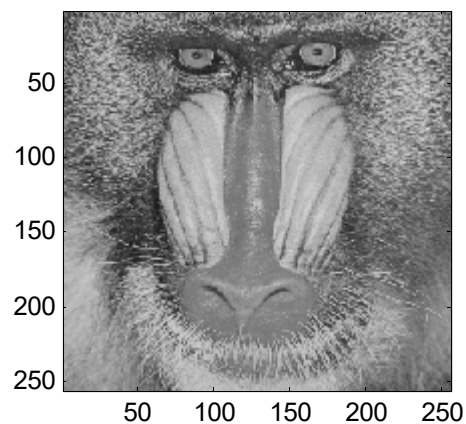
反映出了圖一、圖三之間確實有很高的相似度

比較：機率上關於相關度 (correlation) 的定義

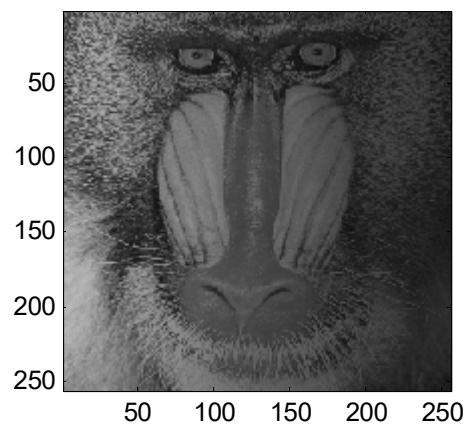
$$\text{corr}(x, y) = \frac{\sigma_{xy}}{\sigma_x \sigma_y}$$

其他幾個用 MSE 和 NRMSE 無法看出相似度，但是可以用 SSIM 看出相似度的情形

影子 shadow



圖四

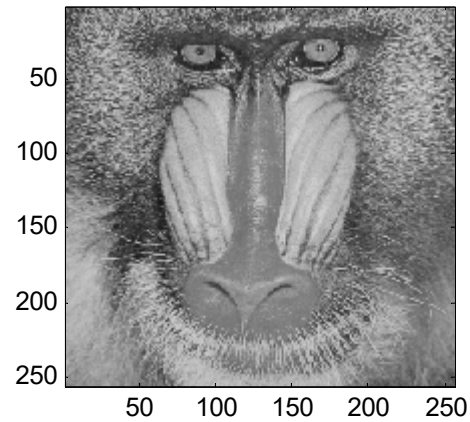


圖五

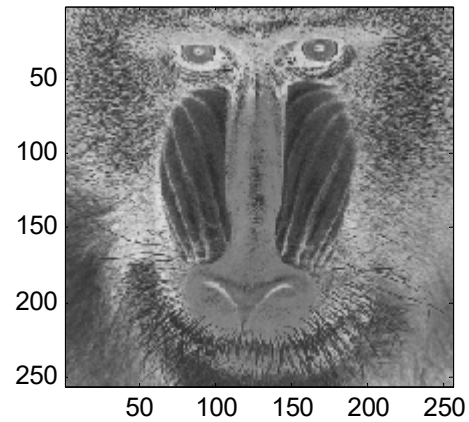
$\text{NRMSE} = 0.4521$ (大於圖一、圖二之間的 NRMSE)

$\text{SSIM} = 0.6010$

底片 the negative of a photo



圖六



圖七

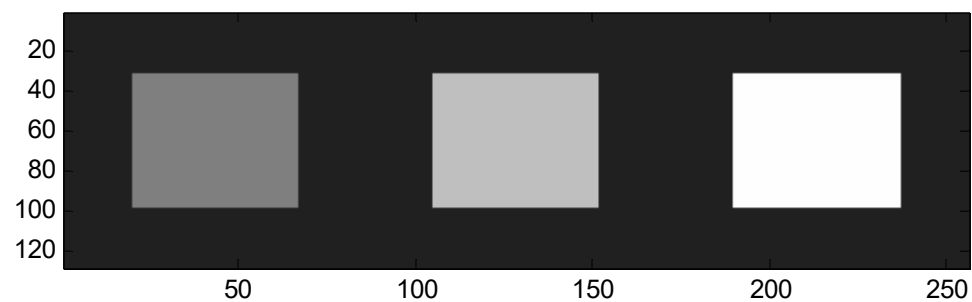
$$\text{圖七} = 255 - \text{圖六}$$

NRMSE = 0.5616 (大於圖一、圖二之間的 NRMSE)

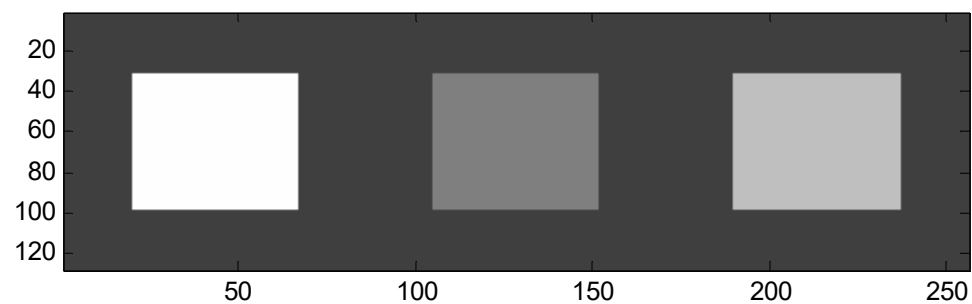
SSIM = -0.8367 (高度負相關)

同形，但亮度不同 (Same shape but different intensity)

圖八



圖九



$\text{NRMSE} = 0.4978$ (大於圖一、圖二之間的 NRMSE)

$\text{SSIM} = 0.7333$

思考：對於 vocal signal (聲音信號而言)

MSE 和 NRMSE 是否真的能反映出兩個信號的相似度？

為什麼？